









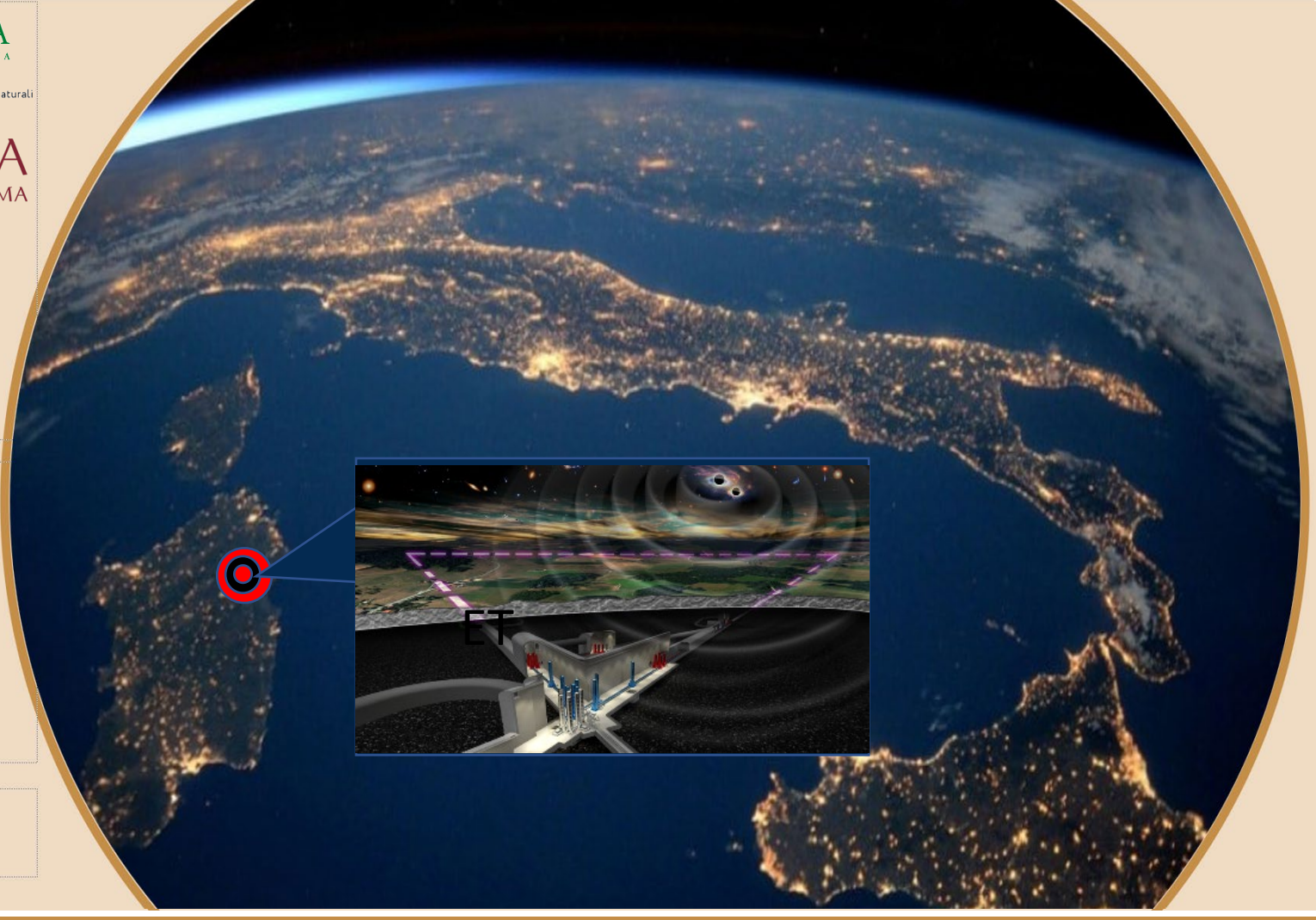


#### La sensibilità dei Rivelatori di Onde Gravitazionali: Il Ruolo della Compensazione Termica

M. Ianni, L. Aiello, E. Cesarini, M. Cifaldi, V. Fafone, M. Lorenzini, D. Lumaca, Y. Minenkov, I. Nardecchia, A. Rocchi, V. Scacco, C. Taranto

**IFAE 2025** 

Cagliari 09/04/2025





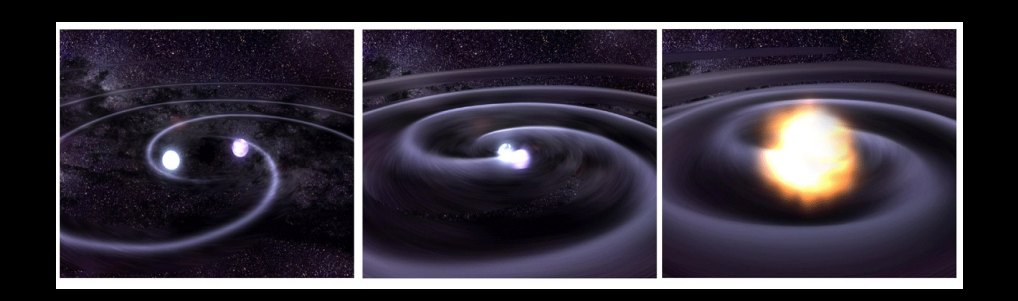


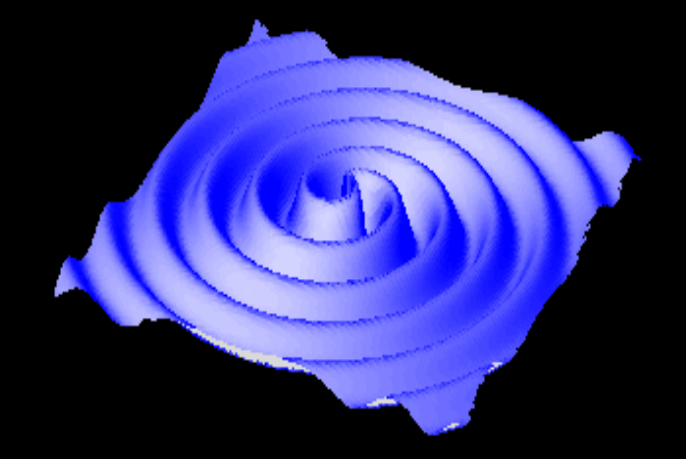


#### Le Onde Gravitazionali

- Increspature dello spazio-tempo;
- Soluzione dell'equazione di Einstein:

$$R_{\mu\nu} - \frac{1}{2}g_{\mu\nu}R = \frac{8\pi G}{c^4}T_{\mu\nu};$$

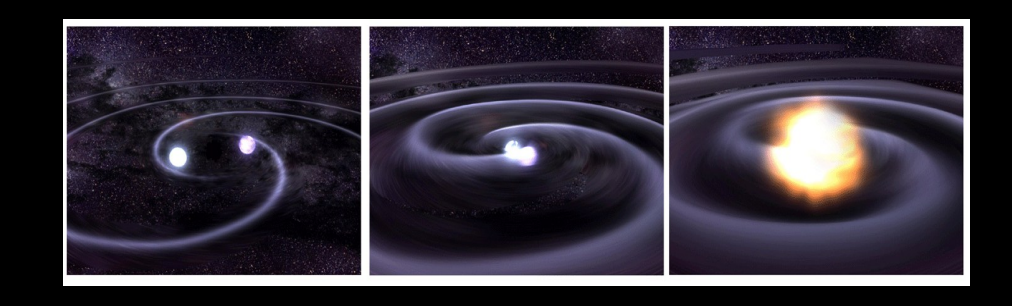




#### Le Onde Gravitazionali

- Increspature dello spazio-tempo;
- Soluzione dell'equazione di Einstein:

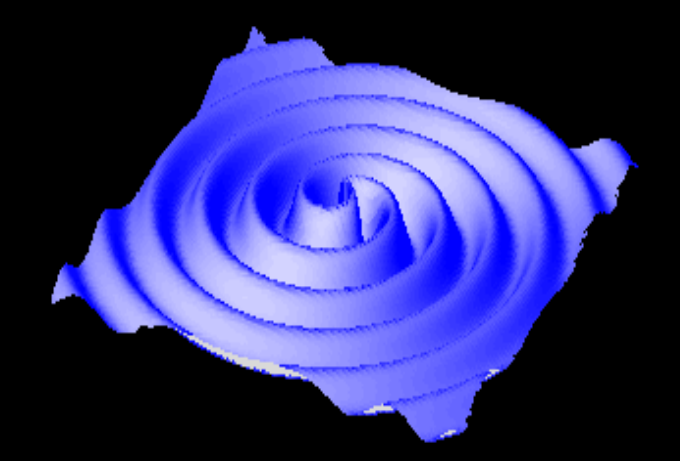
$$R_{\mu\nu} - \frac{1}{2}g_{\mu\nu}R = \frac{8\pi G}{c^4}T_{\mu\nu};$$



Emissione di Onde Gravitazionali:

$$L = \frac{2G}{5c^5} \langle \ddot{Q}_{ij} \ddot{Q}^{ij} \rangle \sim \varepsilon^2 \frac{c^5}{G} \left(\frac{R_S}{R}\right)^2 \left(\frac{v}{c}\right)^2 \longrightarrow$$

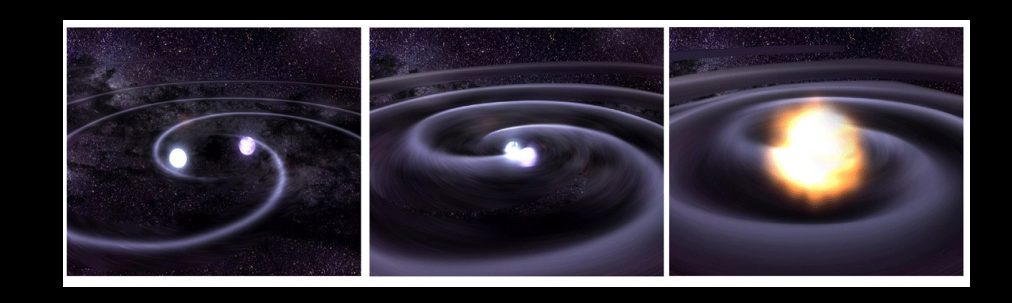
Sorgenti Asimmetriche – Compatte – Relativistiche



#### Le Onde Gravitazionali

- Increspature dello spazio-tempo;
- Soluzione dell'equazione di Einstein:

$$R_{\mu\nu} - \frac{1}{2}g_{\mu\nu}R = \frac{8\pi G}{c^4}T_{\mu\nu};$$

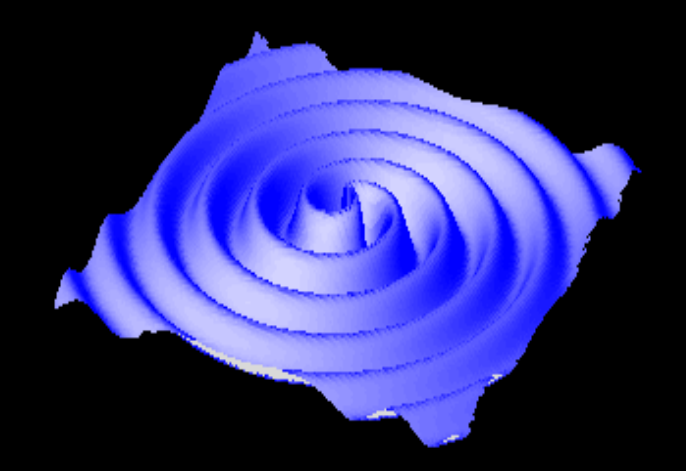


Emissione di Onde Gravitazionali:

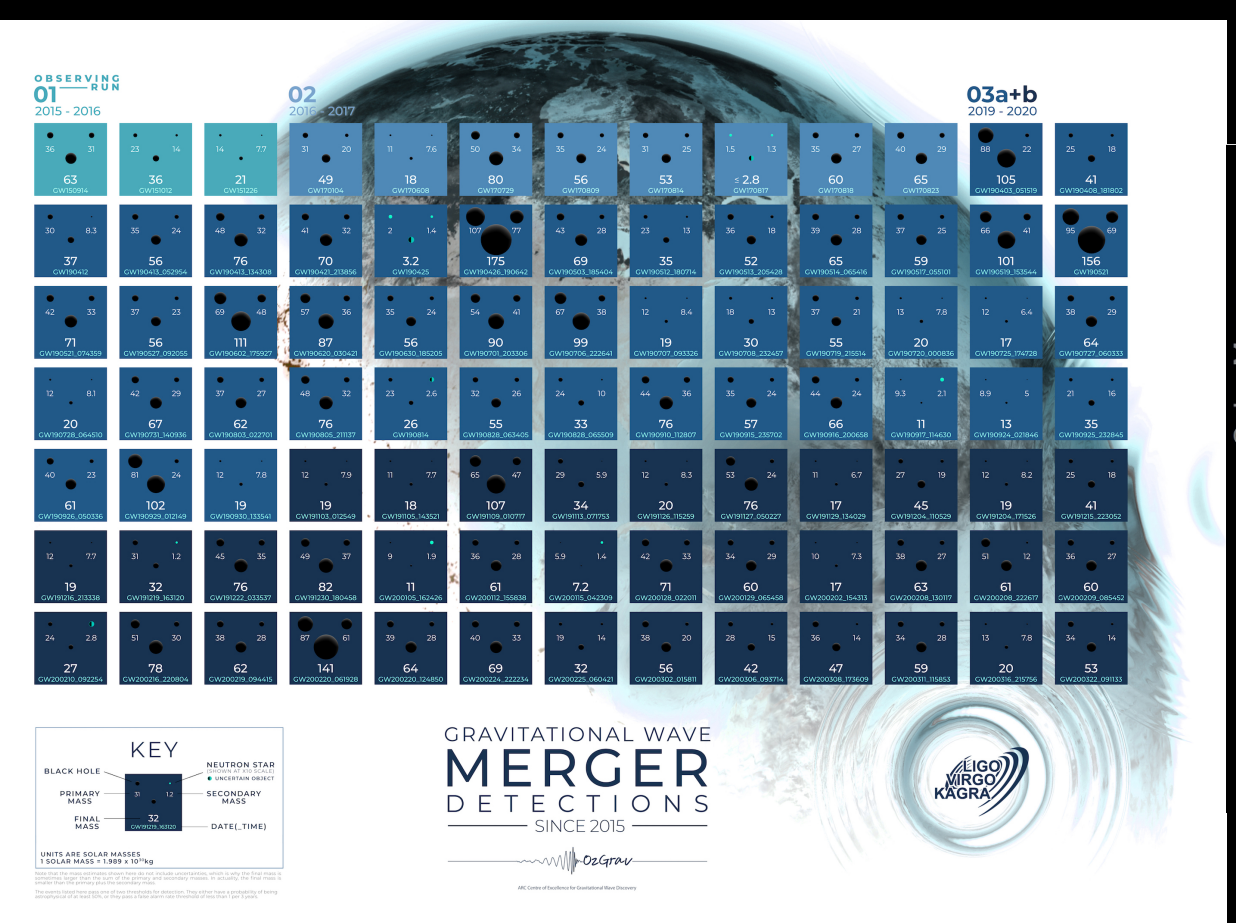
$$L = \frac{2G}{5c^5} \langle \ddot{Q}_{ij} \ddot{Q}^{ij} \rangle \sim \varepsilon^2 \frac{c^5}{G} \left(\frac{R_s}{R}\right)^2 \left(\frac{v}{c}\right)^2 \longrightarrow$$

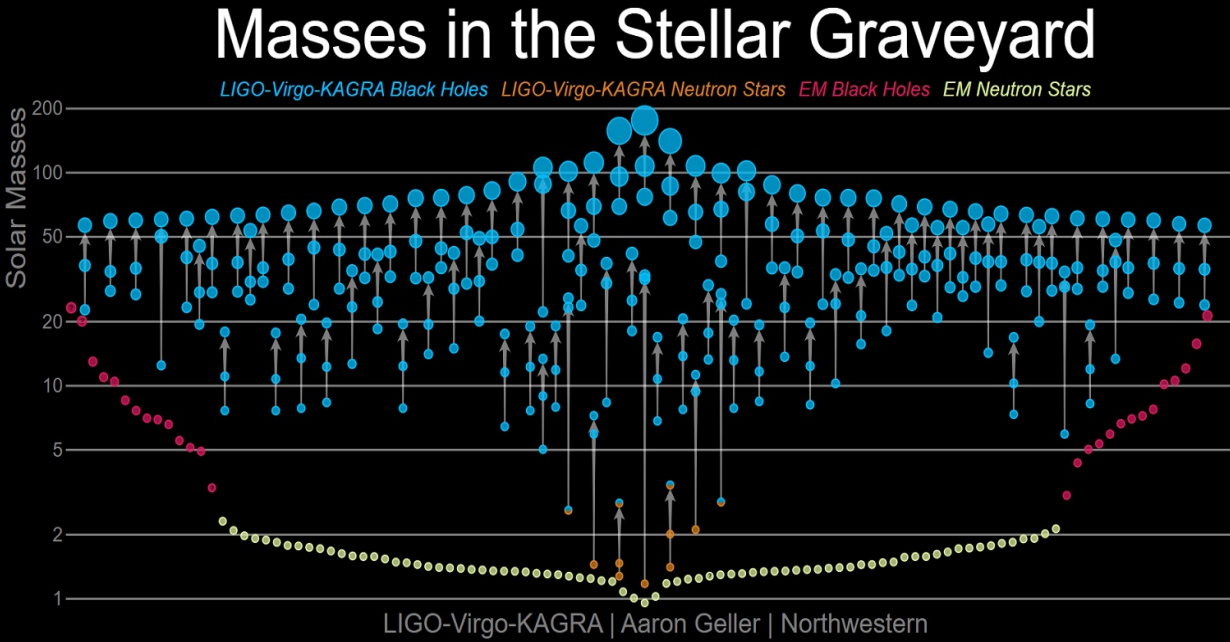
Sorgenti Asimmetriche – Compatte – Relativistiche

- Segnali Periodici
- Segnali Transienti
- Fondo Stocastico

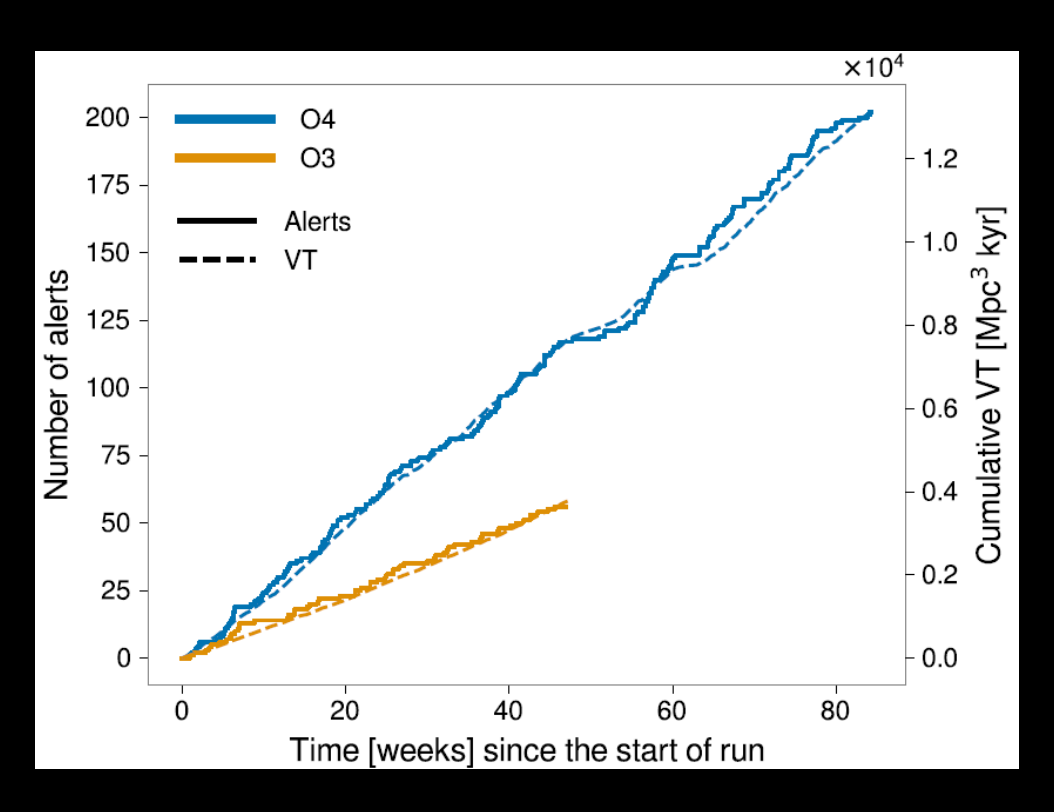


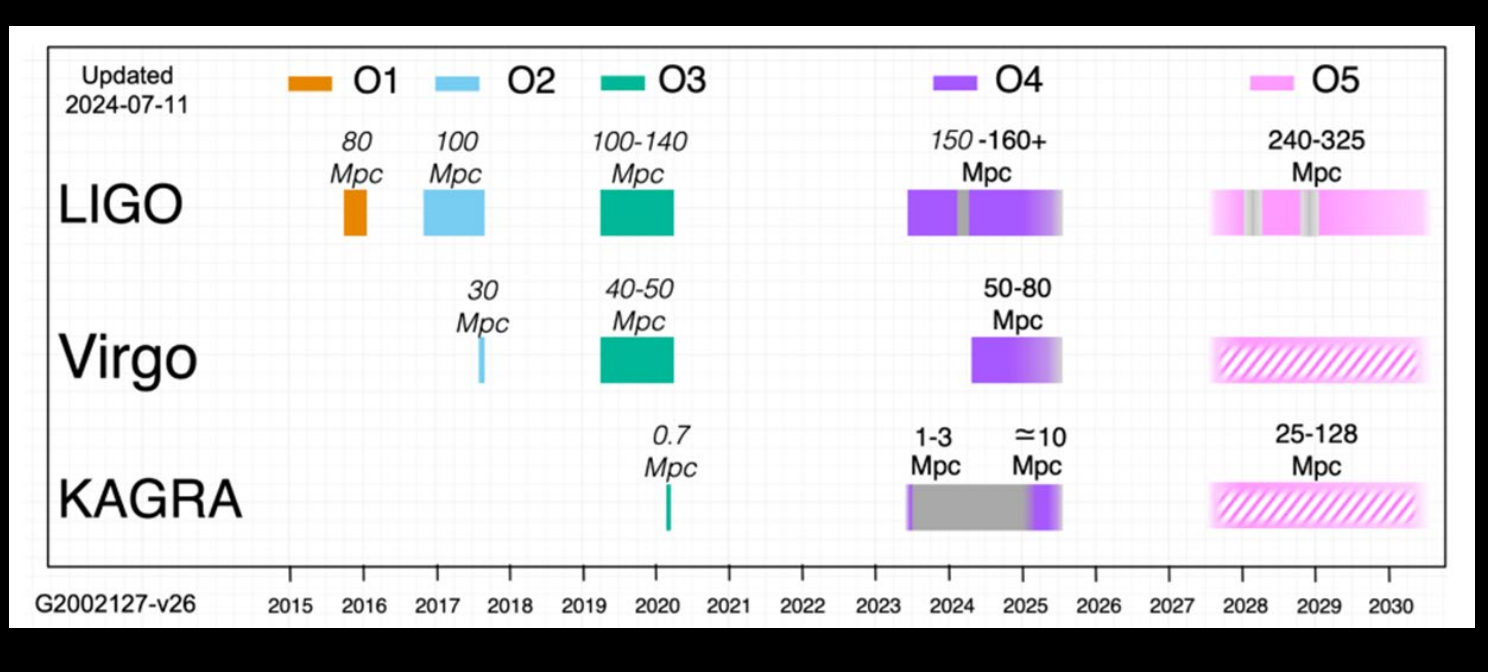
## Segnali Transienti Rilevati





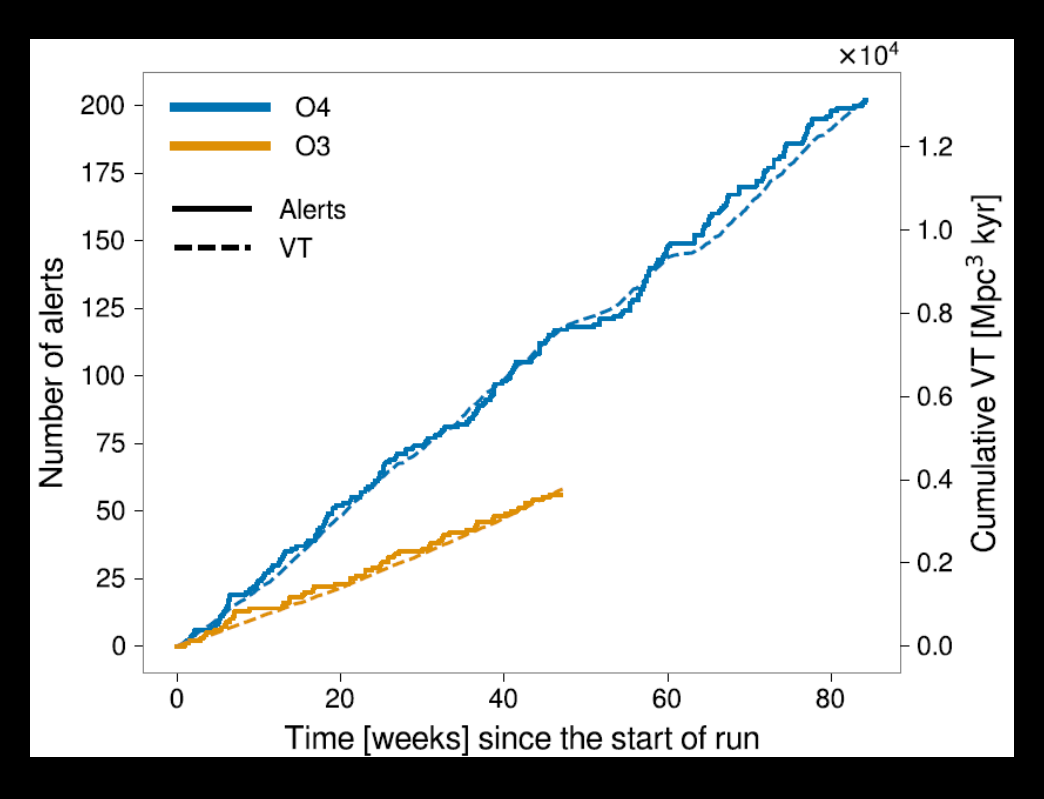
# Attività Osservativa e Sviluppi Futuri

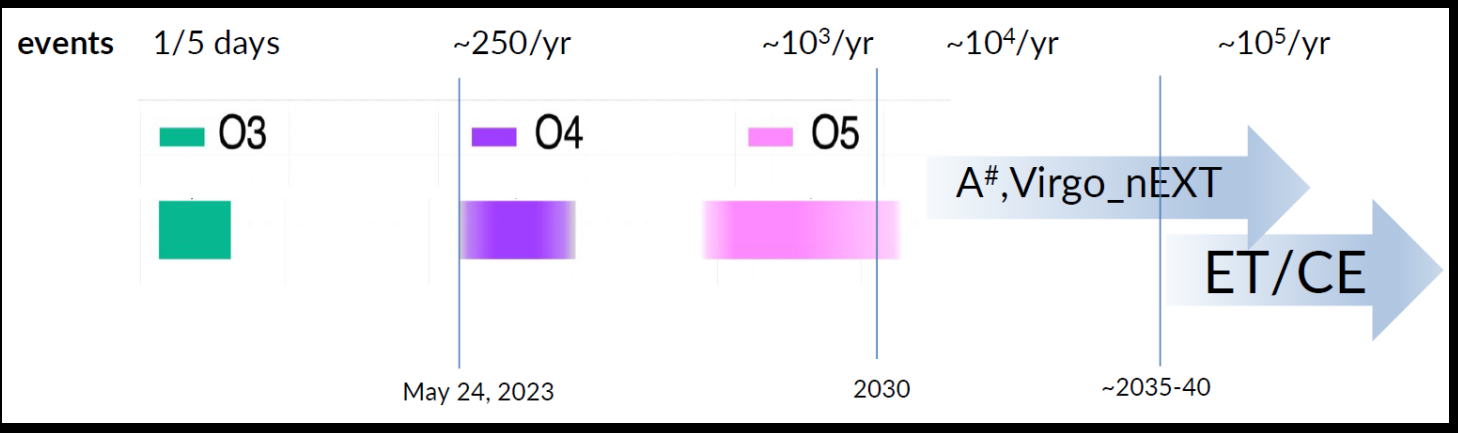




• Ogni miglioramento della sensibilità amplia la portata dell'astronomia gravitazionale e multimessaggera.

# Attività Osservativa e Sviluppi Futuri





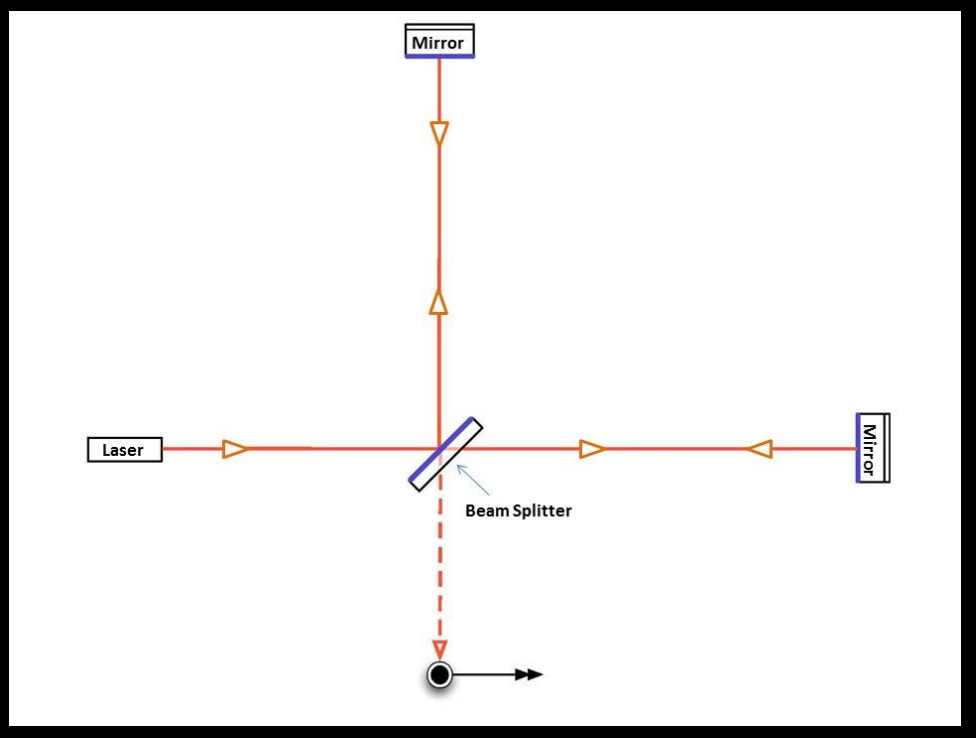
- Ogni miglioramento della sensibilità amplia la portata dell'astronomia gravitazionale e multimessaggera.
- Transizione verso detector di terza generazione (ET Cosmic Explorer)

#### Rivelazione Interferometrica

Le Onde Gravitazionali modificano localmente la metrica dello spaziotempo:

$$\Delta L(\sim 10^{-18} \text{m}) \Rightarrow \Delta P_{out}$$

$$\Delta \Phi_{Mich} = \frac{4\pi}{\lambda_L} \Delta L$$



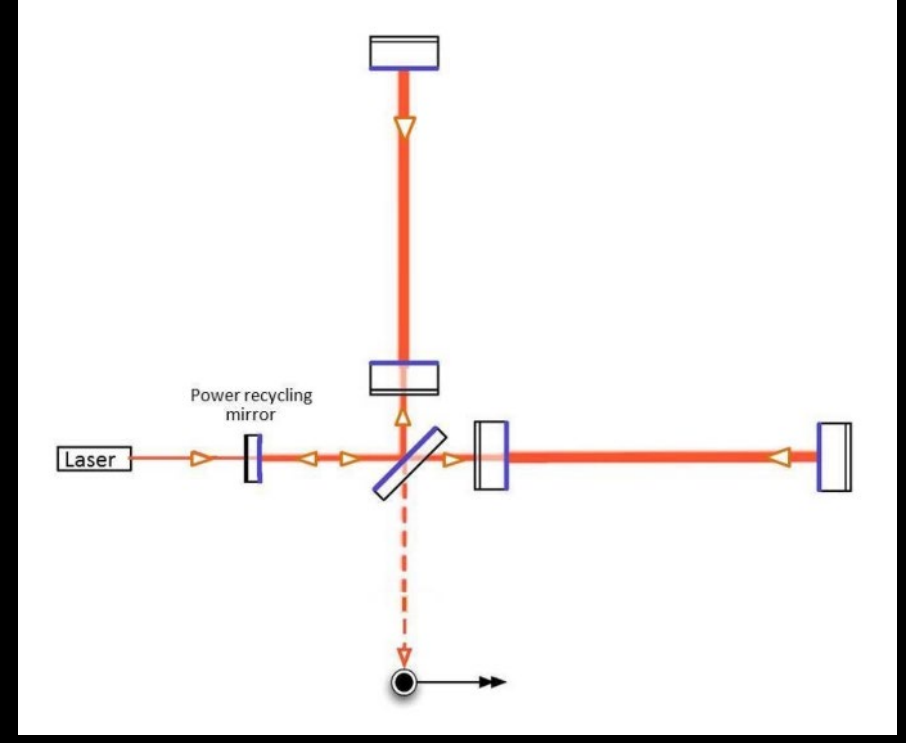
2017, premio Nobel per la fisica a seguito della rivelazione diretta di Onde Gravitazionali.

#### Rivelazione Interferometrica

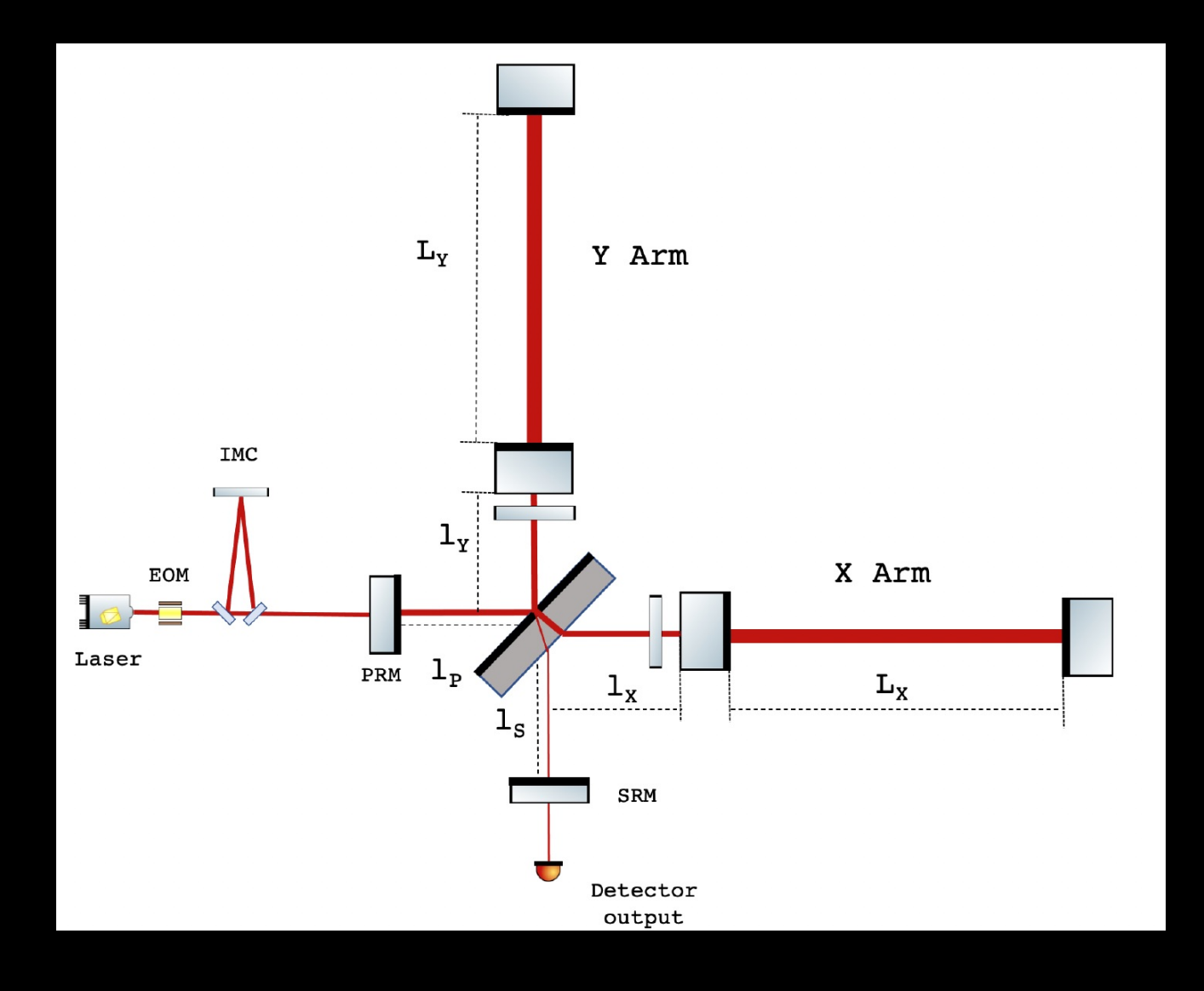
Le Onde Gravitazionali modificano localmente la metrica dello spaziotempo:

$$\Delta L(\sim 10^{-18} \text{m}) \Rightarrow \Delta P_{out}$$

$$\Delta \Phi_{Mich} = \frac{4\pi}{\lambda_L} \Delta L$$
  $\Longrightarrow$   $\Delta \Phi_{FP} = \frac{2F}{\pi} \Delta \Phi_{Mich}$ 

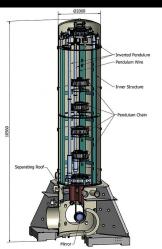


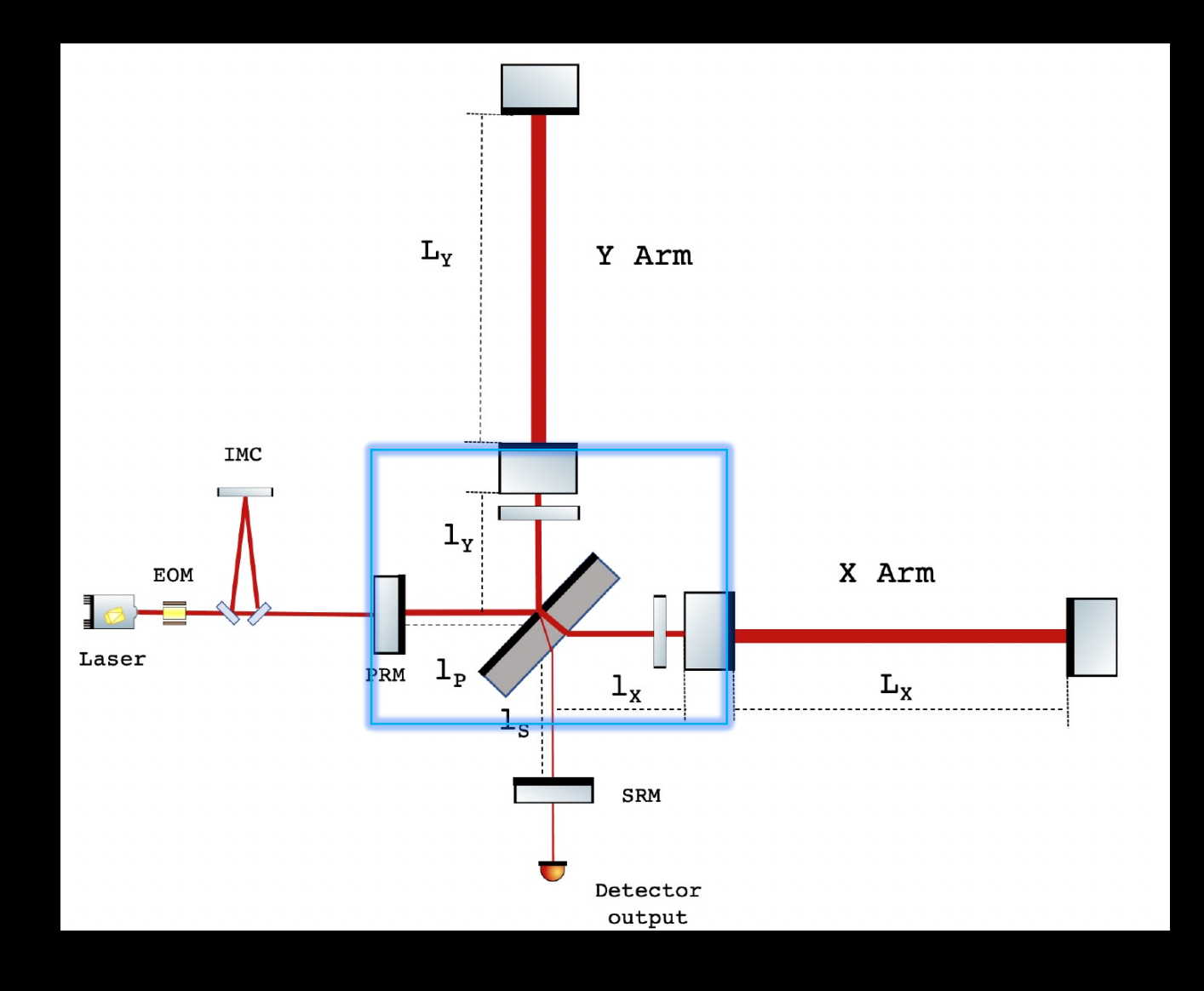
2017, premio Nobel per la fisica a seguito della rivelazione diretta di Onde Gravitazionali.





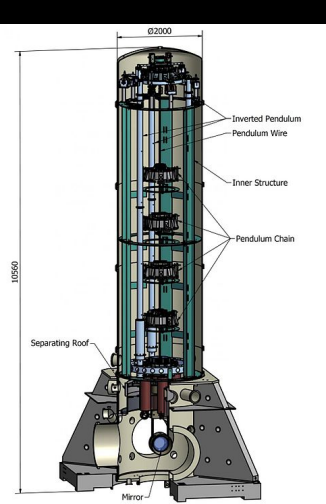


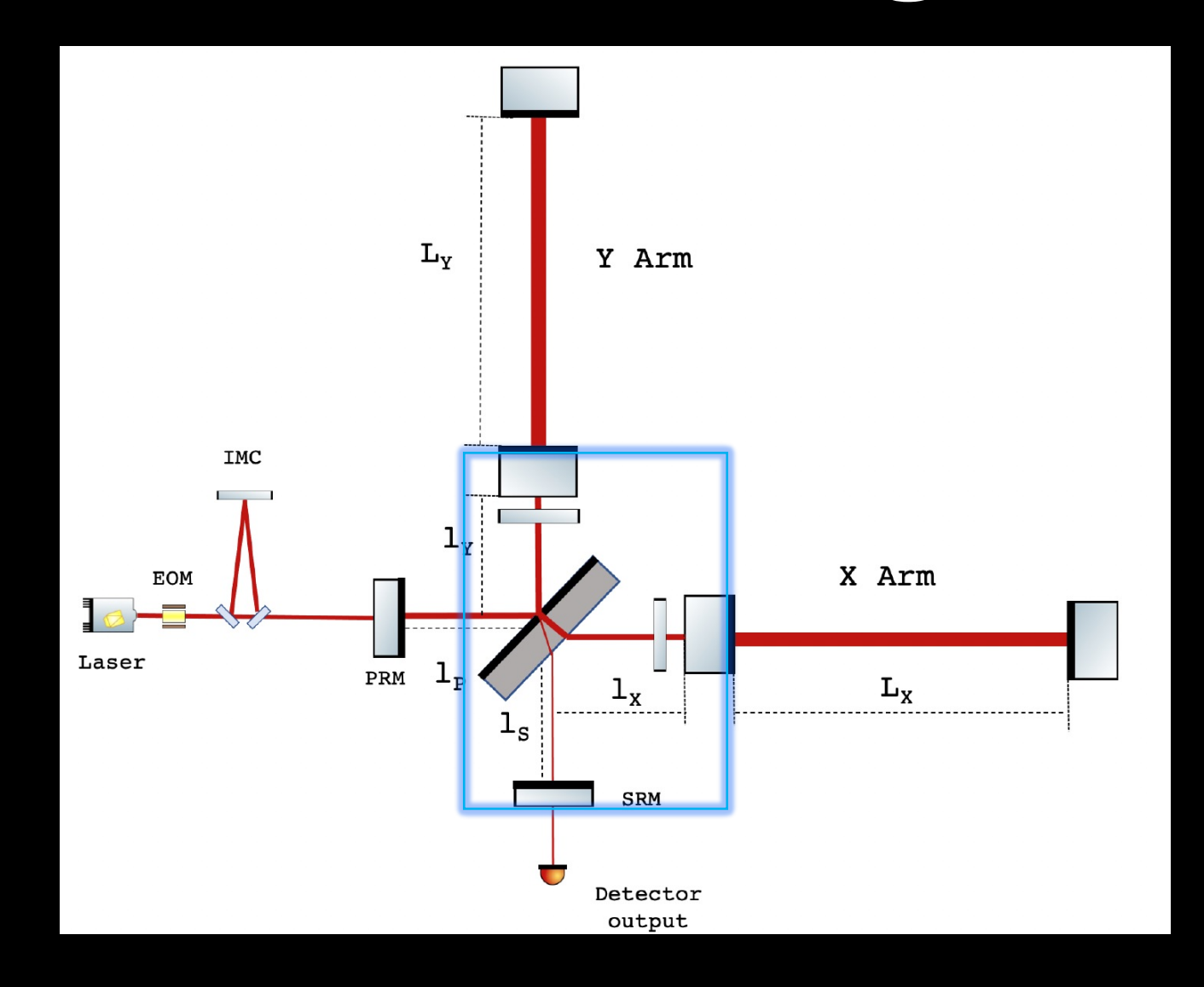






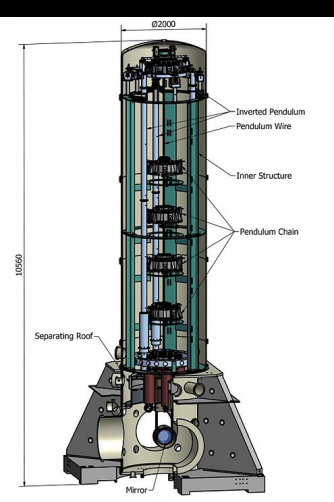


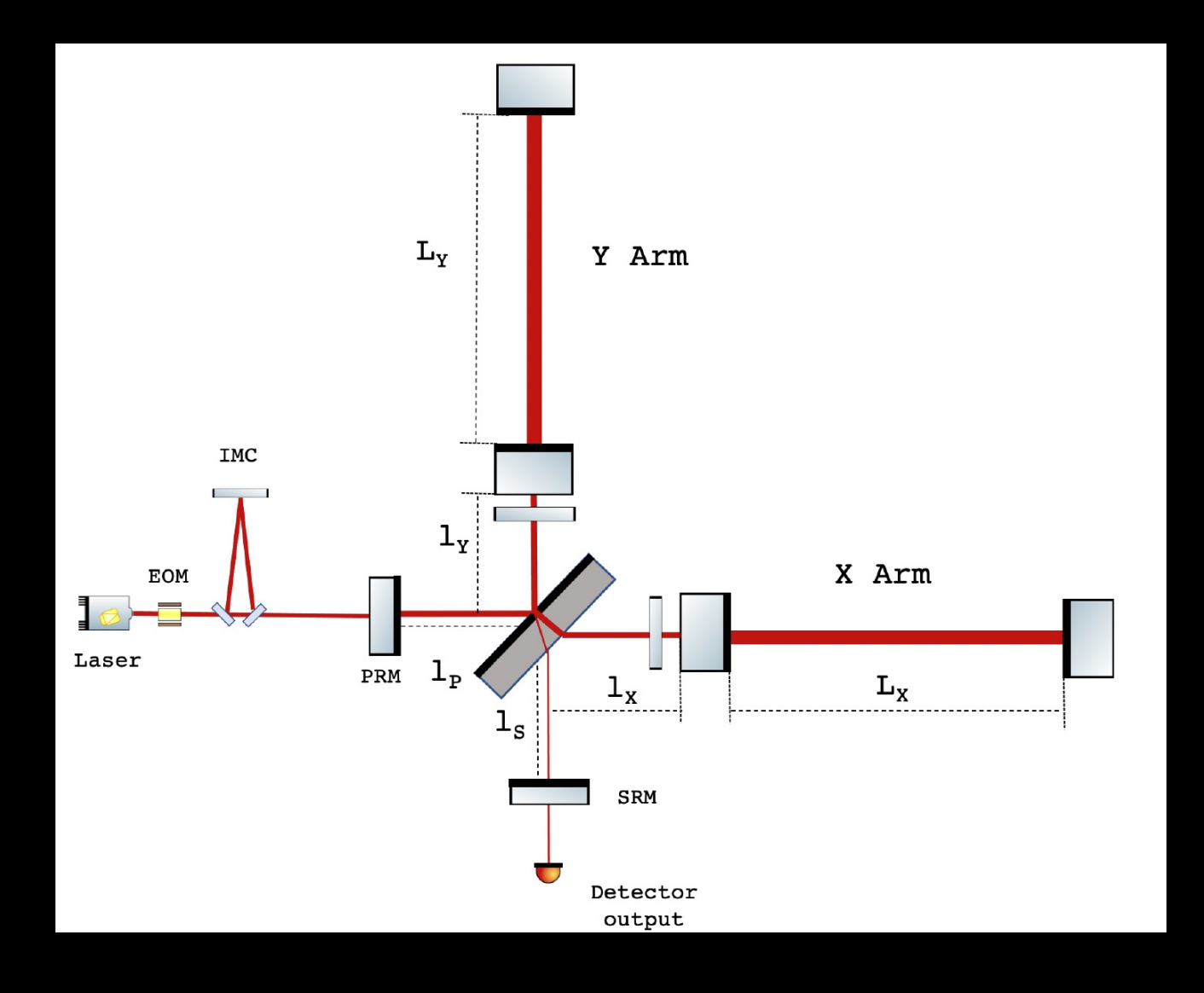






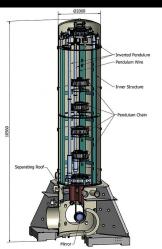


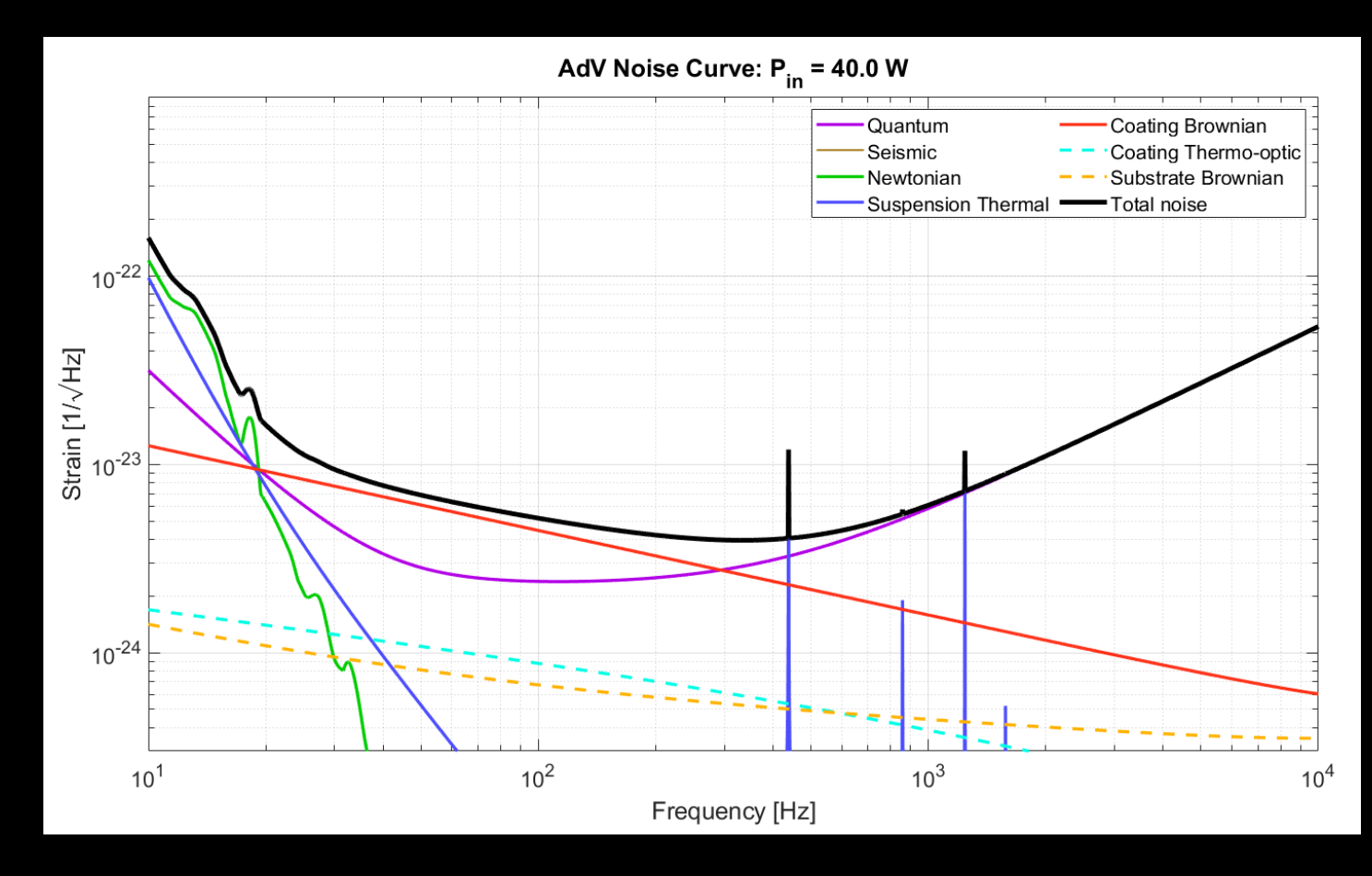




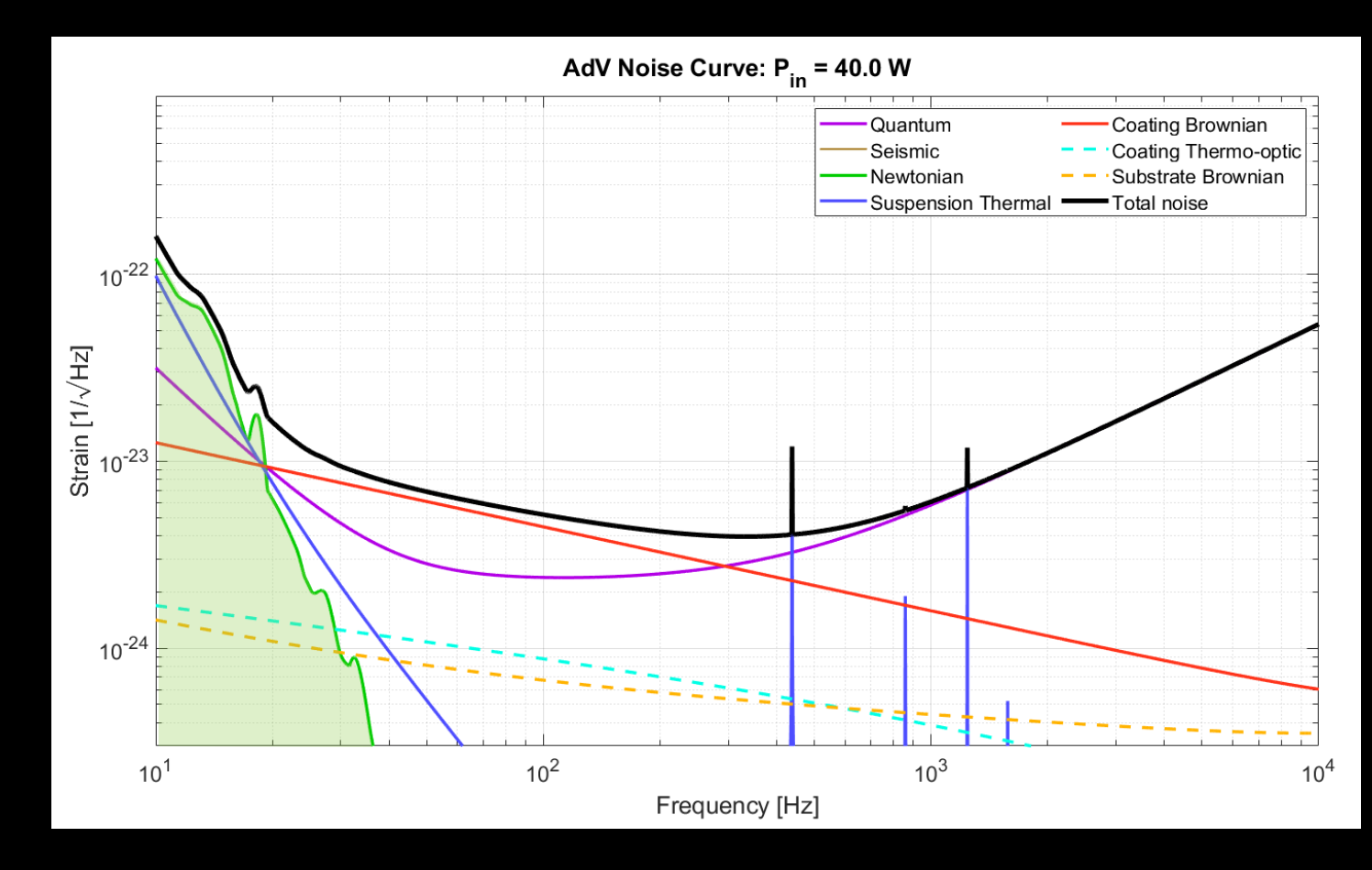




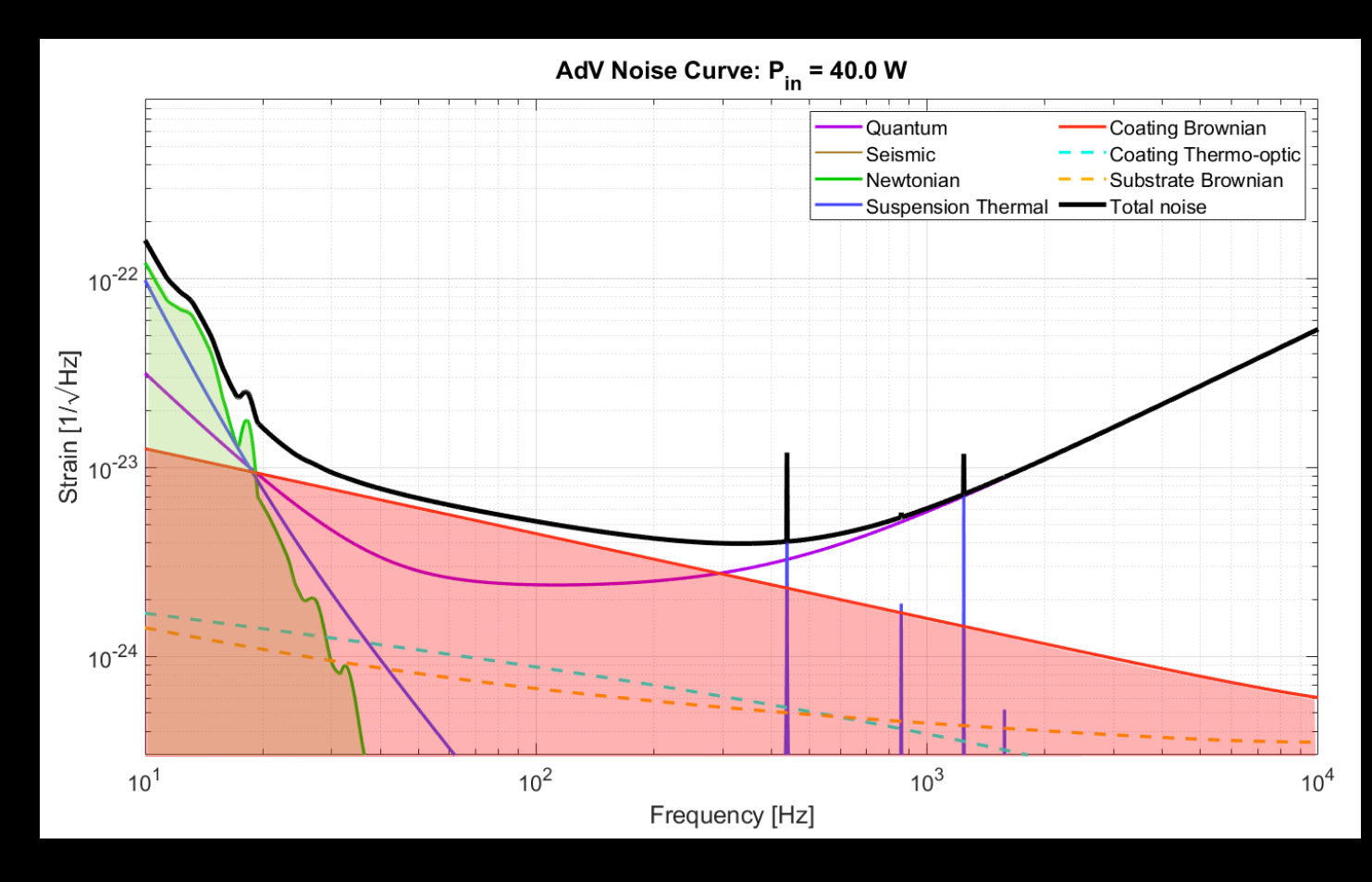




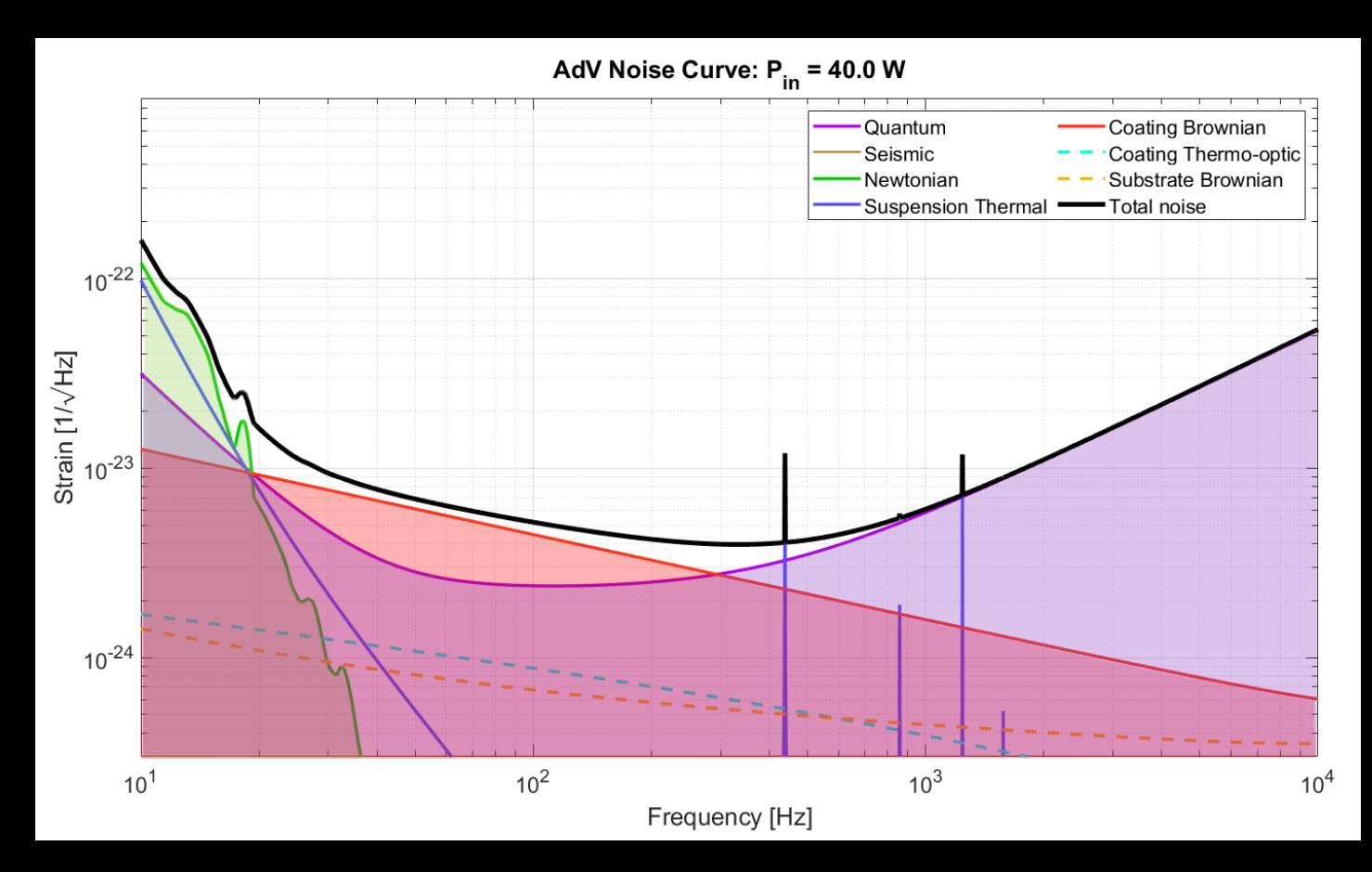
Rumore Newtoniano < 20 Hz;</li>



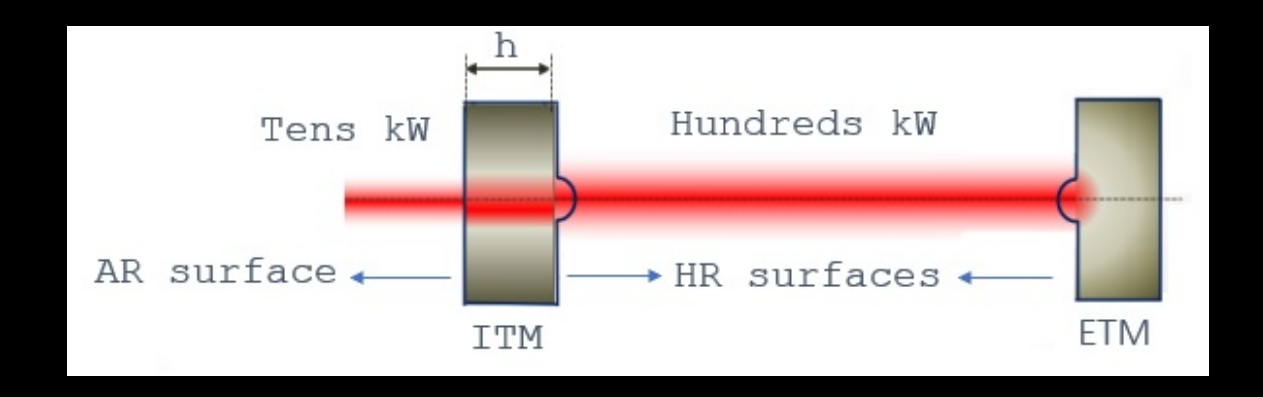
- Rumore Newtoniano < 20 Hz;</li>
- Rumore Termico [20-300] Hz;



- Rumore Newtoniano < 20 Hz;</li>
- Rumore Termico [20-300] Hz;
- Rumore Quantistico > 300 Hz:
  - Shot noise  $\propto \sqrt{1/P_{in}}$ ;
  - Pressione di radiazione  $\propto \sqrt{P_{in}}$ .



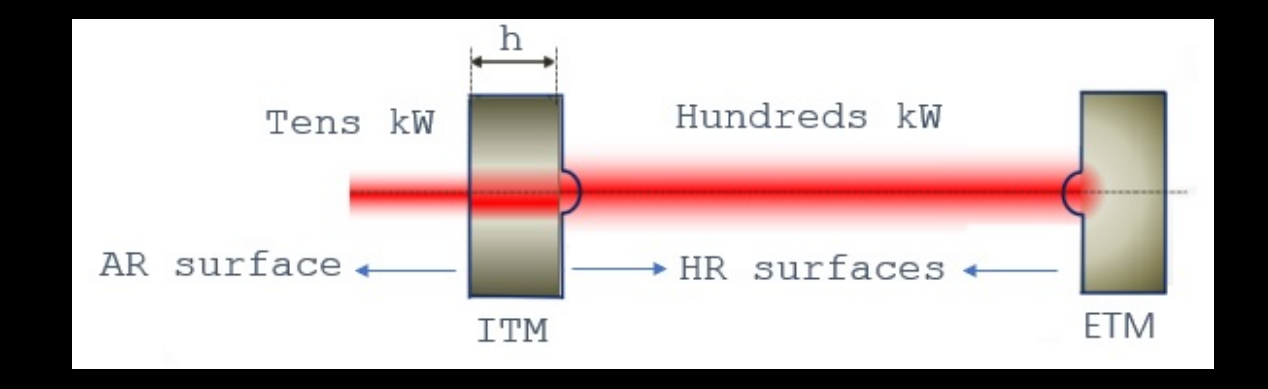
Assorbimento di Potenza



Assorbimento di Potenza



Gradiente di Temperatura



$$\Delta W(r,\theta) \approx \beta \int_{0}^{h} \Delta T(r,\theta,z) dz$$

Assorbimento di Potenza

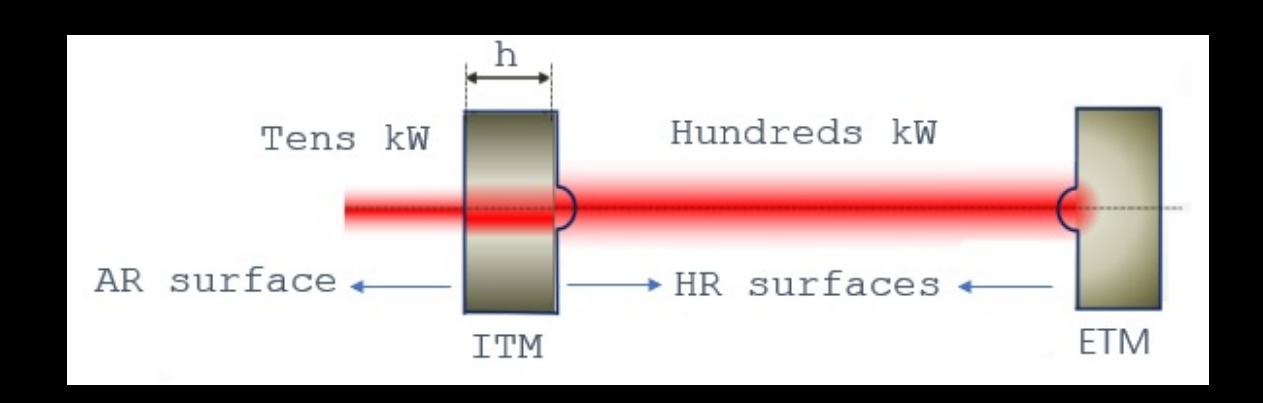


Gradiente di Temperatura



Riduzione delle performance dell'ITF

$$\Delta W(r,\theta) \approx \beta \int_{0}^{h} \Delta T(r,\theta,z) dz$$



Assorbimento di Potenza



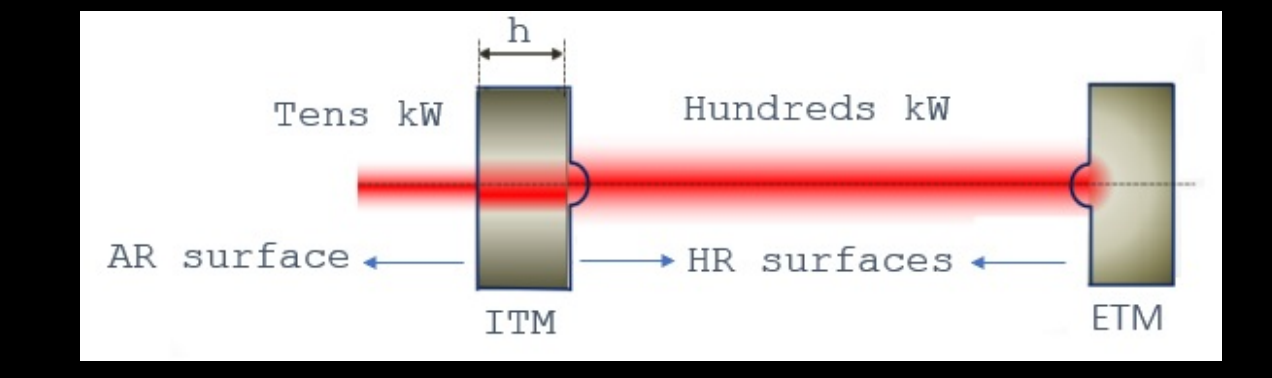
Gradiente di Temperatura



Riduzione delle performance dell'ITF

$$\Delta W(r,\theta) \approx \beta \int_{0}^{h} \Delta T(r,\theta,z) dz$$

$$R \approx \frac{dn}{dT}$$



• *n:* indice di rifrazione;

• **Termo-ottico:** variazione di *n* nel substrato ;

Assorbimento di Potenza



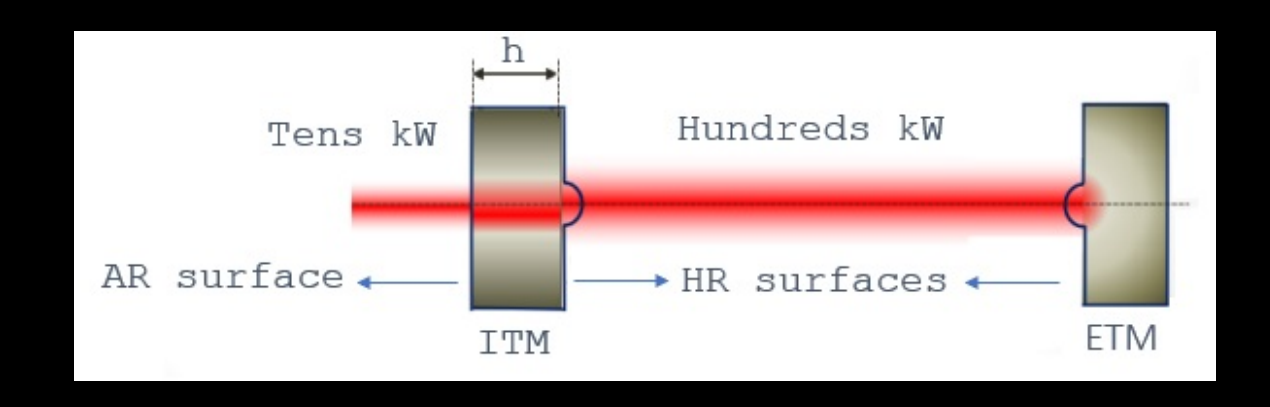
Gradiente di Temperatura



Riduzione delle performance dell'ITF

$$\Delta W(r,\theta) \approx \beta \int_{0}^{h} \Delta T(r,\theta,z) dz$$

$$\beta \approx \frac{dn}{dT} + \alpha (1 + \sigma_{P})(n-1)$$



- *n:* indice di rifrazione;
- $\alpha$ : coefficiente di espansione termica;
- $\sigma_P$ : rapporto di Poisson.
- **Termo-ottico:** variazione di *n* nel substrato ;
- **Termo-elastico:** deformazione superficiale;

Assorbimento di Potenza



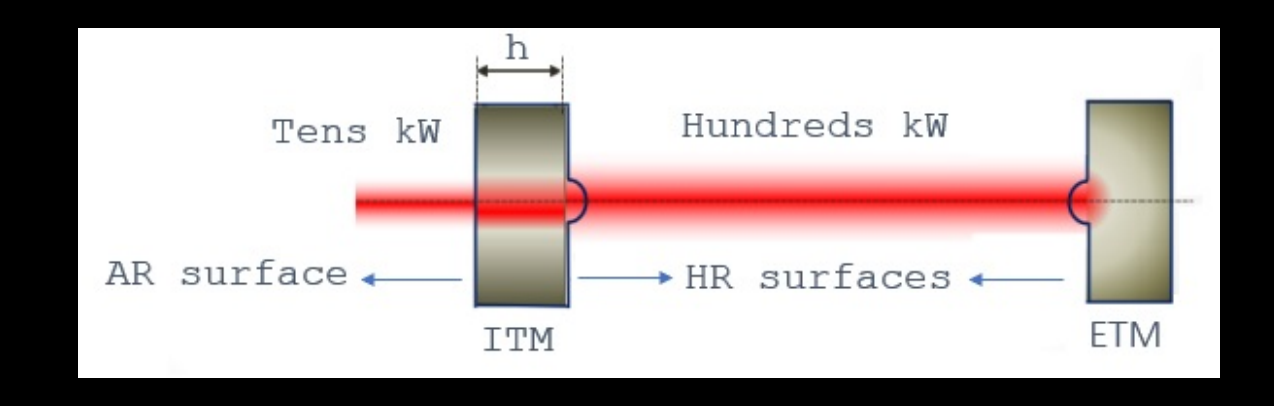
Gradiente di Temperatura



Riduzione delle performance dell'ITF

$$\Delta W(r,\theta) \approx \beta \int_{0}^{h} \Delta T(r,\theta,z) dz$$

$$\beta \approx \frac{dn}{dT} + \alpha (1 + \sigma_{P})(n-1)$$



- *n:* indice di rifrazione;
- $\alpha$ : coefficiente di espansione termica;
- $\sigma_P$ : rapporto di Poisson.
- **Termo-ottico:** variazione di *n* nel substrato ;
- **Termo-elastico:** deformazione superficiale;
- Difetti freddi: imperfezioni delle ottiche;

### Sistema di Compensazione Termica

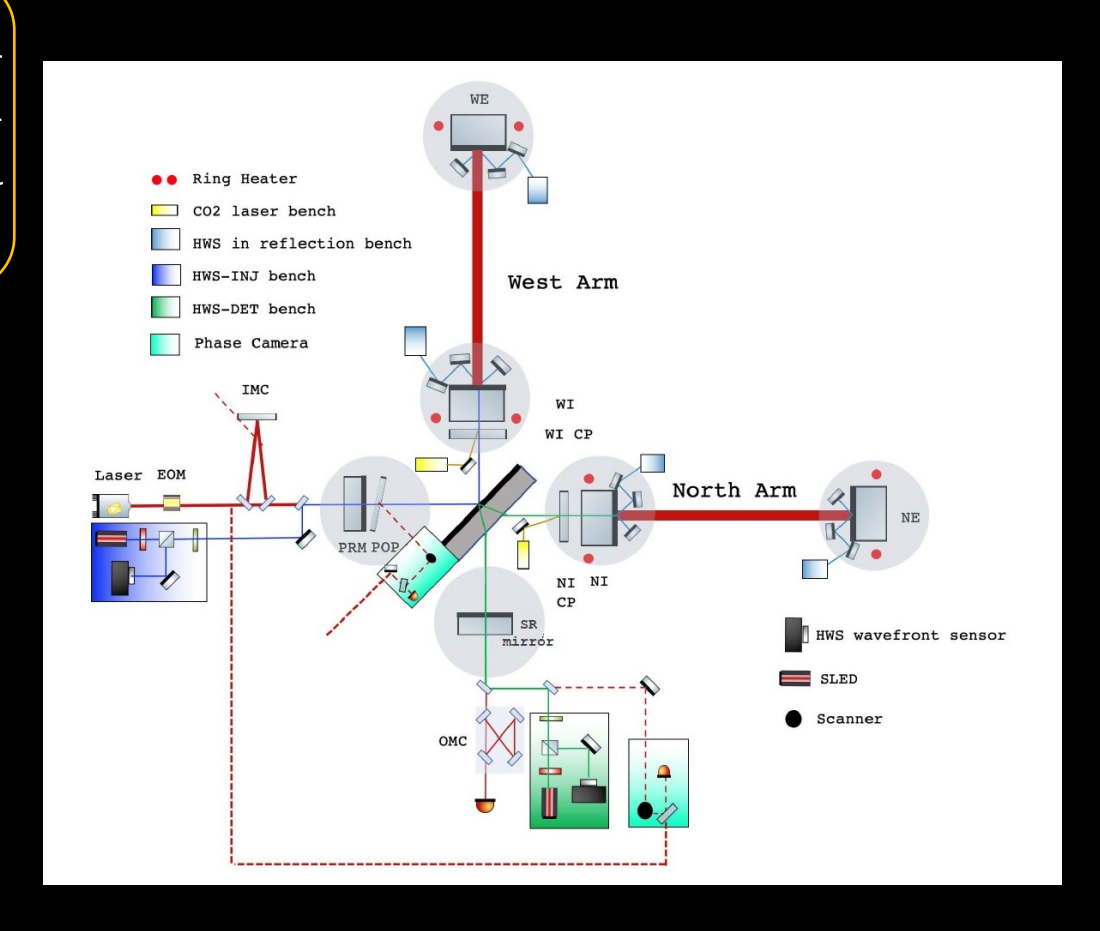
Mitigazione delle aberrazioni ottiche derivanti sia dagli effetti termici che dai difetti freddi per ripristinare la configurazione ottica nominale dell'interferometro.

#### • Sensori:

- Hartmann Wavefront Sensor (HWS);
- Phase Camera (PC);

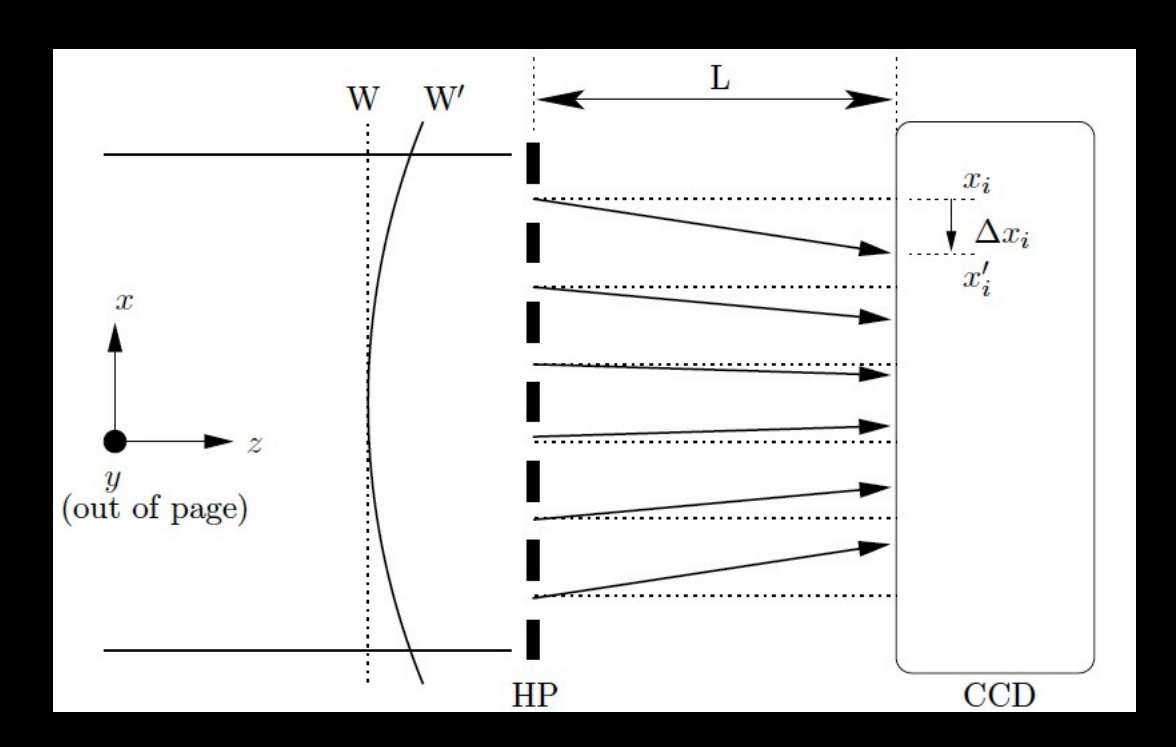
#### • Attuatori:

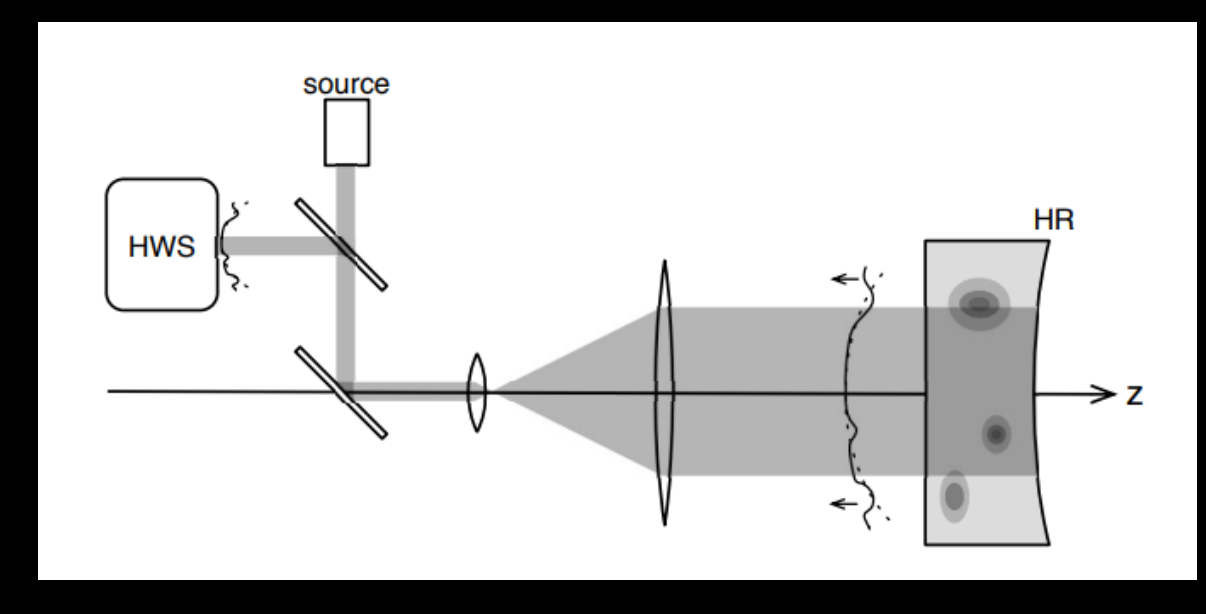
- Ring Heater (RH);
- CO<sub>2</sub> Laser: Double Axicon System (DAS);
- CO<sub>2</sub> Laser: Central Heating (CH);



#### Sensore di fronte d'onda Hartmann (HWS)

• Sensore **differenziale** che misura le variazioni del fronte d'onda di un fascio sonda rispetto al valore riferimento.





Integrazione Numerica

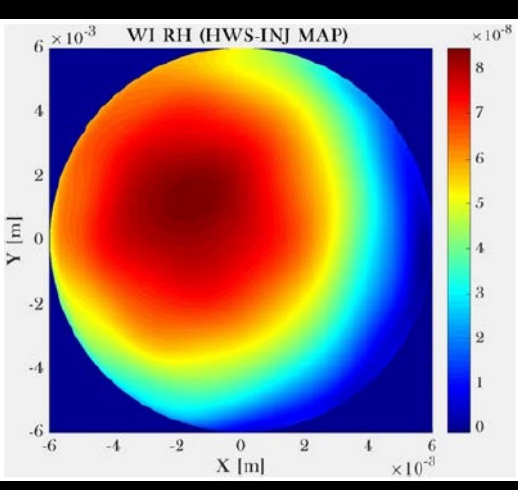
$$\frac{\partial \Delta W}{\partial x} = \frac{\Delta x_i}{L} \longrightarrow \Delta W$$

Sviluppato dal gruppo LIGO – University of Adelaide (AU)

# Sensore Hartmann: uno strumento, molteplici utilizzi

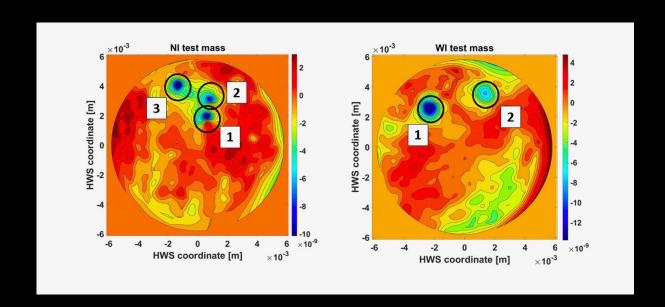
# Sensore Hartmann: uno strumento, molteplici utilizzi

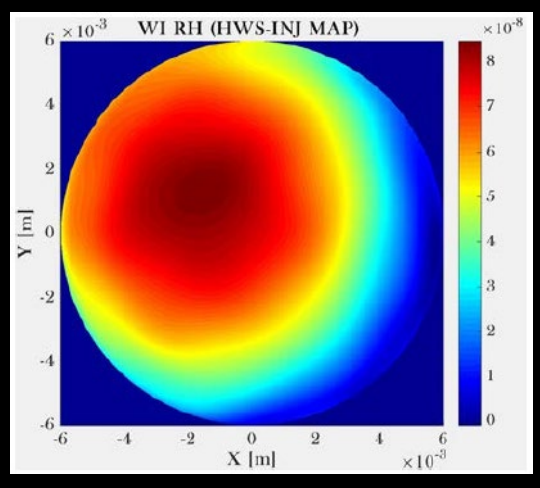
• Centraggio degli attuatori;

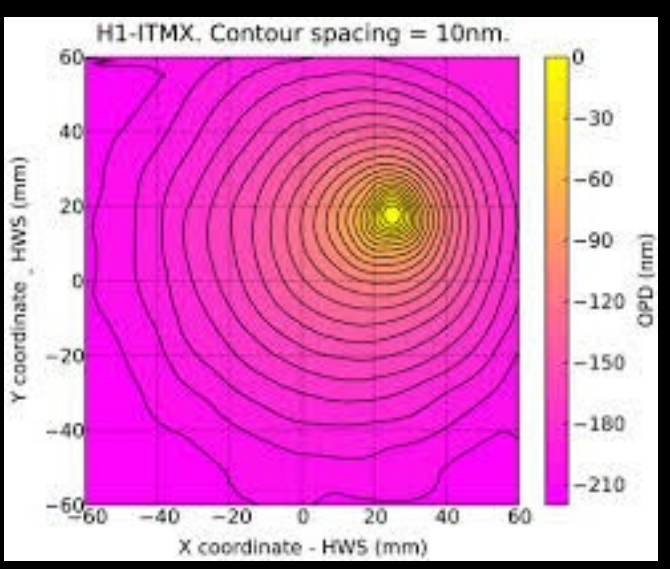


# Sensore Hartmann: uno strumento, molteplici utilizzi

- Centraggio degli attuatori;
- Identificazione dei "Point Absorber";

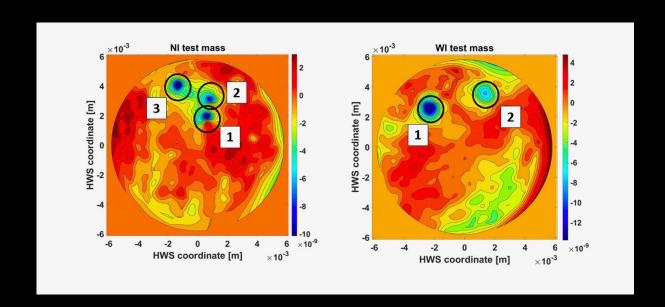


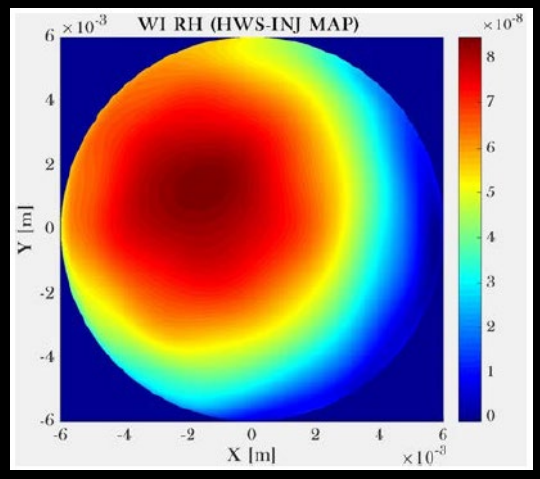


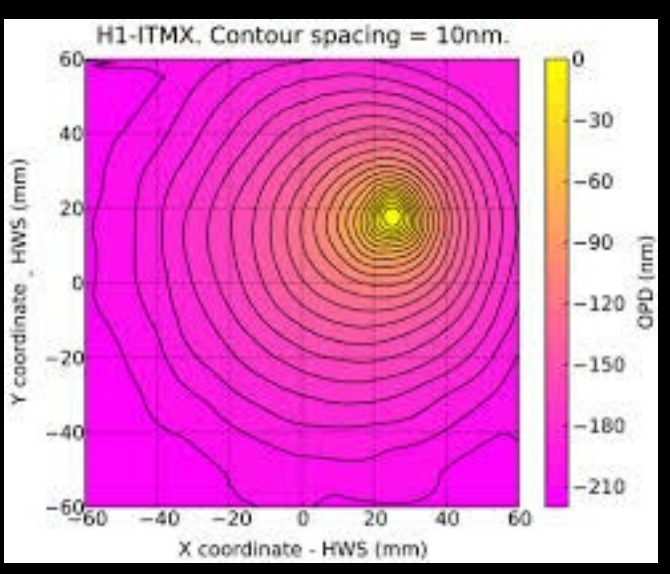


# Sensore Hartmann: uno strumento, molteplici utilizzi

- Centraggio degli attuatori;
- Identificazione dei "Point Absorber";
- Misure dell'assorbimento del Coating delle ottiche.

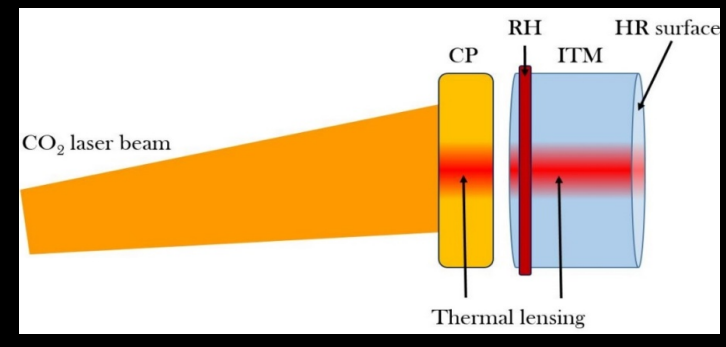


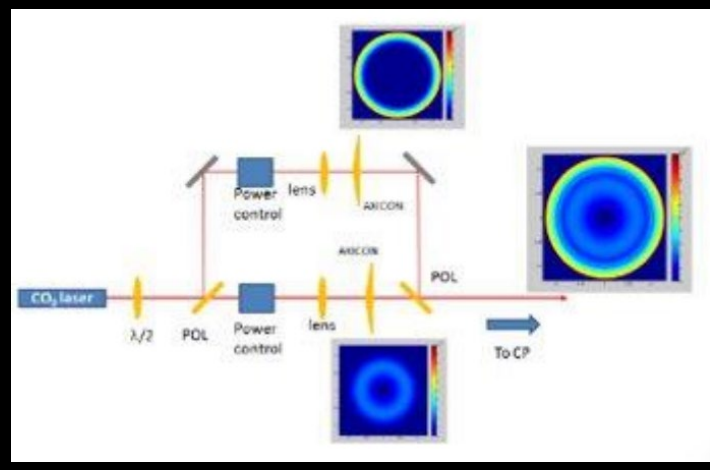




#### Attuatori della TCS

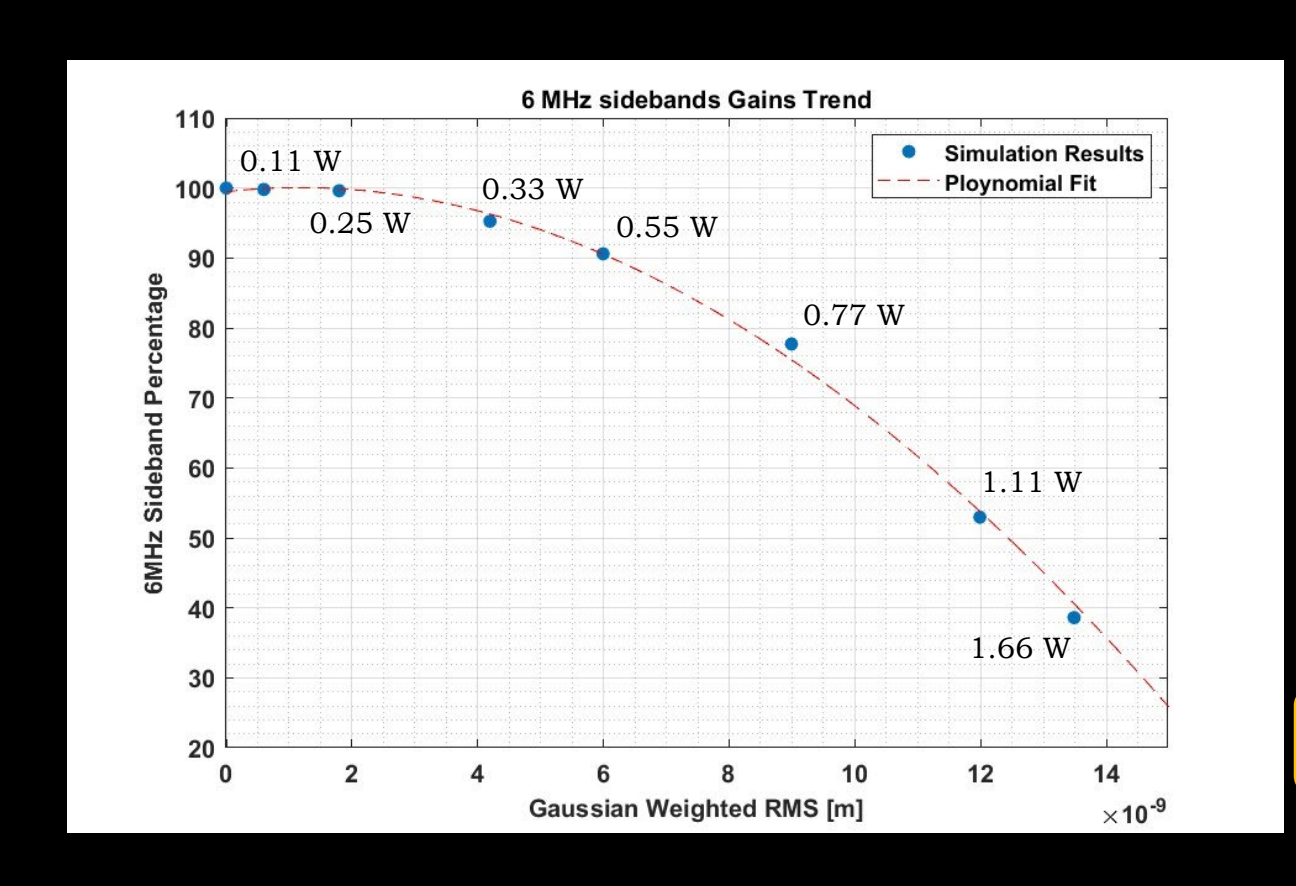
- I Ring Heater circondano le ottiche e le riscaldano riducendone il Raggio di Curvatura (**RoC**), compensando l'effetto termo-elastico.
- Il laser  $CO_2$  agisce su delle piastre di compensazione (CP) e il suo profilo viene modellato per produrre pattern correttivi assi-simmetrici:
  - Central Heating (CH), riscaldamento della parte centrale dello specchio, usato per mantenerne lo stato termico delle ottiche in assenza del laser principale;
  - Riscaldamento anulare, generato tramite un sistema ottico a Doppio Axicon (DAS) e usato per compensare aberrazioni di fronte d'onda statiche e la lente termica indotta dal laser principale.

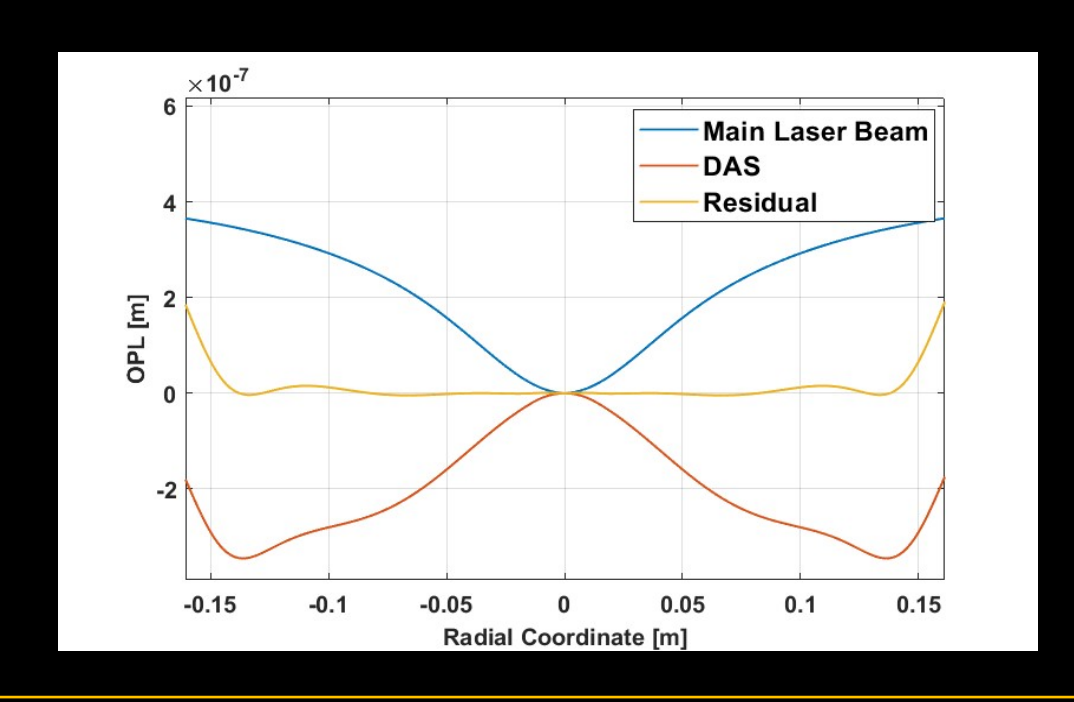




#### Aumento di Potenza e Residui

L'aumento della potenza circolante, necessaria per migliorare sensibilità alle alte frequenze, comporta un aumento degli effetti termici e conseguentemente delle aberrazioni di fronte d'onda.



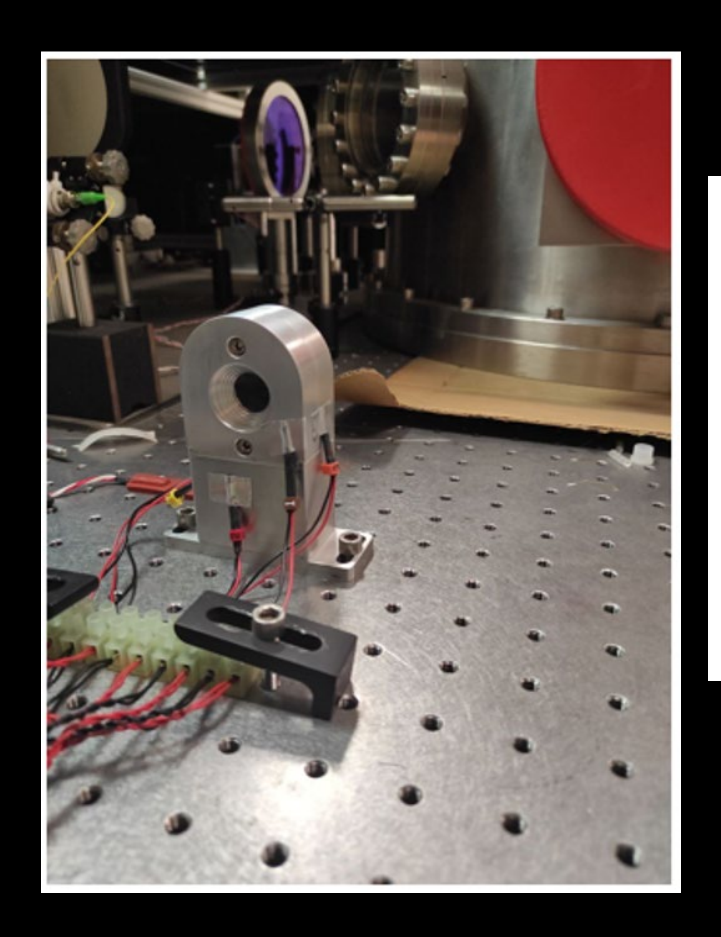


Deterioramento dei segnali di controllo

#### Nuovo HWS

Nuovo sensore CMOS per sostituire la CCD Dalsa Pantera 1M60 (fuori produzione)

- Sensore CMOS Ximea testato
- Sensibilità del nuovo HWS compatibile con requisiti AdV+ (RMS ≤ 0.4 nm)



Parameter		Ximea	DALSA
Pixel array size $(H \times V)$	[pixel]	$2048 \times 2048$	$1024 \times 1024$
Active area size (H $\times$ V)	[mm]	$11.27\times11.27$	$11.27 \times 11.27$
Pixel size (H $\times$ V)	$[\mu m]$	$5.5 \times 5.5$	$12 \times 12$
Full Well Capacity (FWC)	$[\mathrm{ke}^{-}]$	13.5	350
Amplifier noise	[e-]	12 (RMS)	1.2 (RMS)
Dark current	$[e^{-}/s]$	$125~(25^{\circ}~\mathrm{C})$	813 (45° C)
Digitization	[bit]	10	12
Framerate	[fps]	90	60

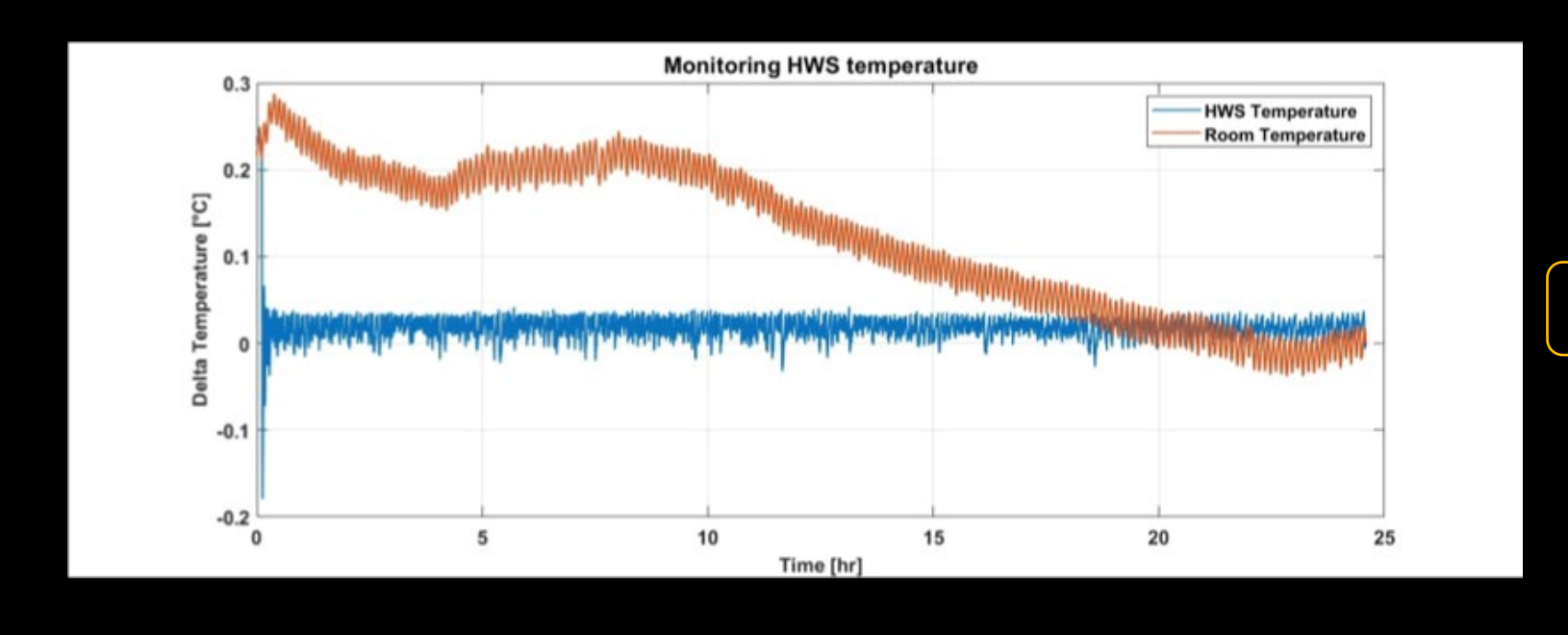
Sensibilità Richiesta:  $2\frac{\langle \Delta W_{max} \rangle}{10} \sim 0.4 \ nm$ 

	wavefront RMS [	nm]
$N_{img}$	Ximea	DALSA
1	0.96	0.57
100	0.11	0.12
1000	0.04	0.05

Fluttuazioni di temperature, inducendo un defocus termico, limitano le performance del sensore.

#### Nuovo HWS

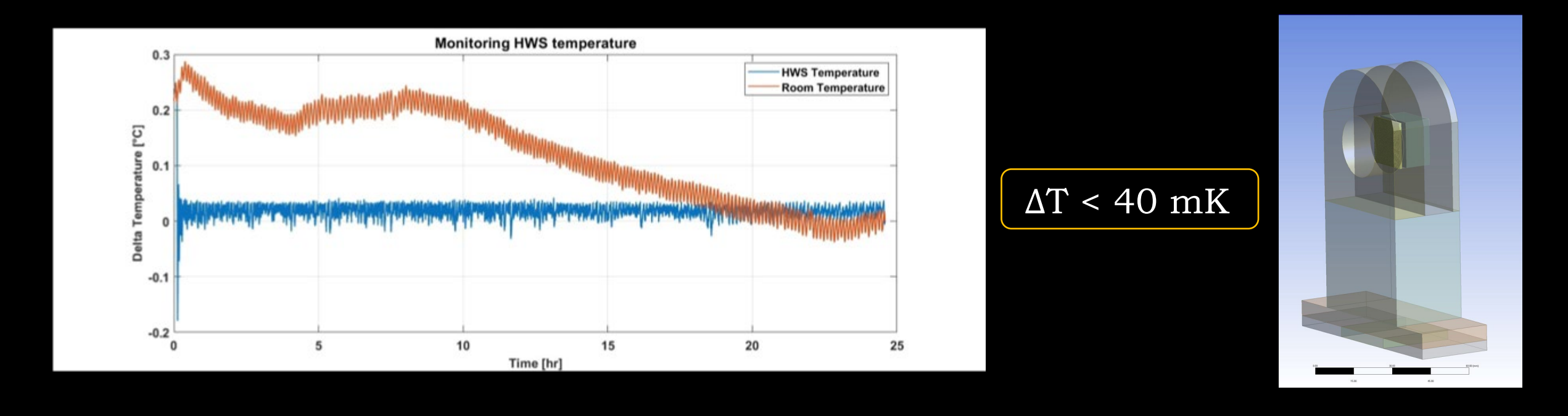
Sistema di controllo della temperature con celle di Peltier, testato e funzionante.



 $\Delta T < 40 \text{ mK}$ 

#### Nuovo HWS

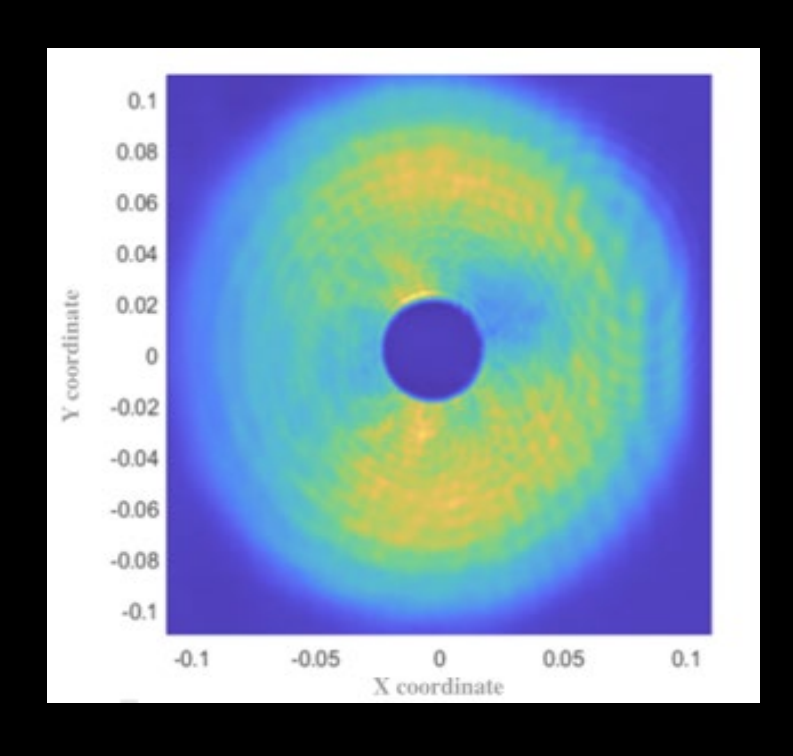
Sistema di controllo della temperature con celle di Peltier, testato e funzionante.



Miglioramento dello scambio termico con l'ambiente ottimizzando i materiali di cui è composto l'involucro.

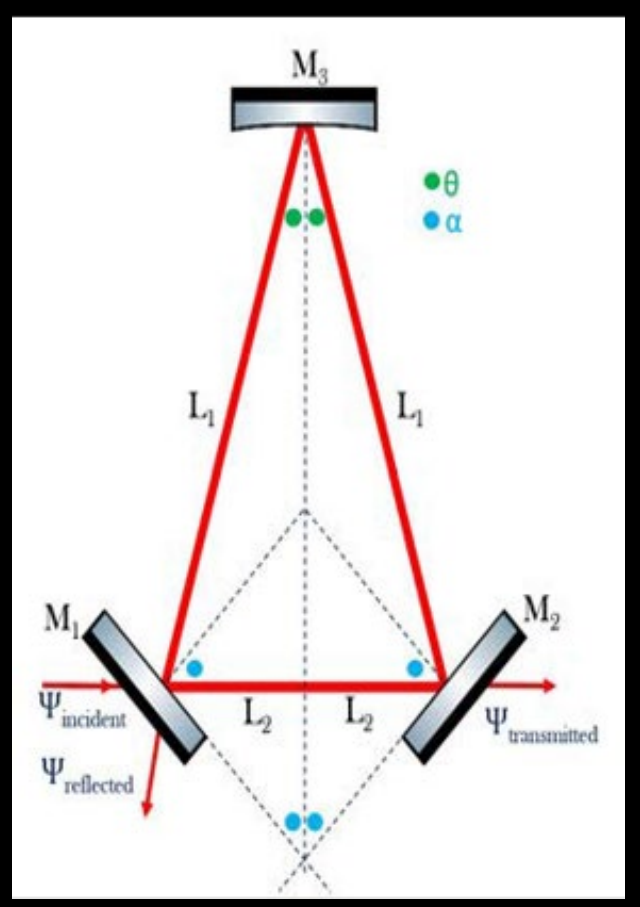
• Simulazioni termiche e strutturali ANSYS per determinare i materiali ottimali.

# Miglioramenti TCS: Mode Cleaner Laser $CO_2$



La qualità del profilo di riscaldamento del DAS è influenzata dalla presenza di Modi di Ordine Superiore (HOMs) che si sovrappongono al modo fondamentale (TEM00) del laser  $CO_2$ .

Per filtrare i modi di ordine superiore e migliorare la qualità del fascio laser  $CO_2$  utilizzato, in Advanced Virgo verranno installate apposite cavità ottiche dette **Mode Cleaner**.

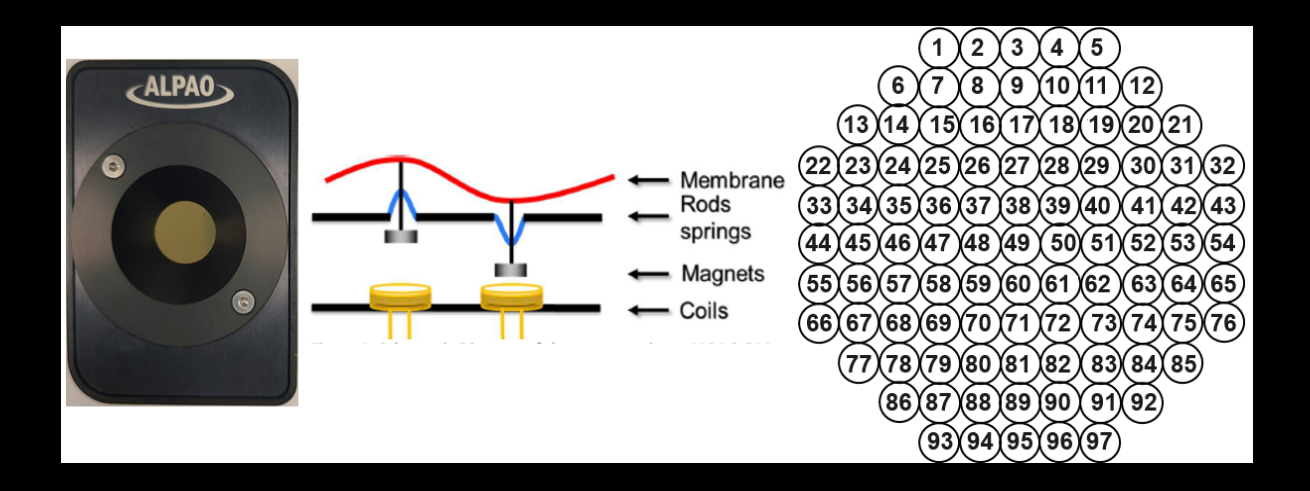


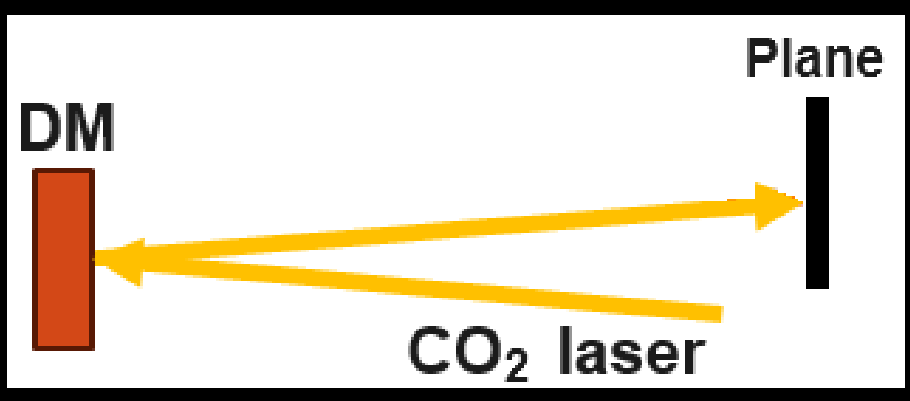
# Miglioramenti TCS: Compensazione Residui

Per consentire una compensazione mirata dei residui non assi-simmetrici è in corso lo sviluppo e la caratterizzazione di un nuovo attuatore, uno **Specchio Deformabile**.

Quando un fascio laser  $CO_2$  viene riflesso dallo specchio deformabile, questo applica la fase necessaria per ottenere il profilo di intensità desiderato.

La correzione risultante è statica e adattiva, **non introduce rumore nel rivelatore**.





#### Conclusioni

- L'aumento della potenza circolante negli interferometri impone un controllo delle aberrazioni ottiche sempre più accurato al fine di mantenere le prestazioni e la stabilità del sistema richieste.
- Sono in corso sviluppi e ottimizzazioni della TCS per affrontare le sfide dei prossimi run scientifici.
- Le conoscenze e le competenze maturate negli anni stanno contribuendo alla progettazione di soluzioni avanzate, preparando il terreno per i rivelatori di terza generazione.





















